

Необычный магнетизм решеток Кондо

В. Ю. Ирхин

16 ноября 2017 г.

Аннотация

Дан обзор экспериментальной ситуации и теоретических представлений относительно необычного магнитного упорядочения плотных кондовских $4f$ - и $5f$ -систем, включая недавно исследованные тройные системы на основе церия, иттербия и актинидов. Оно характеризуется малым магнитным моментом и проявляет черты, характерные как для магнетиков с локализованными спинами, так и для систем с коллективизированными электронами. Особое внимание уделено ферромагнитным системам, а также конкуренции различных типов магнитного упорядочения. Рассмотрены методы теории возмущений и ренорм-группы, а также представление вспомогательных псевдофермионов для описания формирования основного состояния решеток Кондо. Обсуждается проблема нефермижидкостного поведения.

Содержание

1. Введение
 2. Обсуждение экспериментальных данных
 - 2.1 Цериевые системы
 - 2.2 Актинидные системы
 - 2.3 Иттербиевые системы
 3. Модели, теория возмущений и ренормгруппа для решеток Кондо
 4. Магнетизм и нефермижидкостное поведение. Многоканальная модель Кондо
 5. Проблема основного состояния. Приближение среднего поля в представлении псевдофермионов
 6. Заключение
- Список литературы

1 Введение

Системы с тяжелыми фермионами (гигантскими значениями электронной теплоемкости) и другие $4f$ - и $5f$ -соединения с необычными свойствами остаются интереснейшими объектами исследований в многоэлектронной физике твердого тела: они представляют собой весьма нетривиальный пример сильно коррелированных систем, где реализуются экзотические состояния вещества. С точки зрения теории их обычно рассматривают как решетки Кондо или плотные (концентрированные) кондовские

системы, т.е. периодические решетки f -спинов, где взаимодействие с электронами проводимости приводит к экранированию и подавлению локализованных магнитных моментов и аномалиям электронных свойств [1] (инфракрасная катастрофа, впервые обнаруженная Кондо [2]). Для теоретического описания этих систем используется весь арсенал современных методов квантовой теории поля.

С другой стороны, экспериментальные исследования показывают, что среди таких соединений широко распространено магнитное упорядочение, часто с малым магнитным моментом, и/или развитые спиновые флуктуации. Для систем с «умеренно» тяжелыми фермионами (коэффициент в линейном члене теплоемкости γ порядка 100 мДж/моль К²) достаточно типично сосуществование неполного кондовского экранирования с аномальным магнитным упорядочением (с резко подавленным, но ненулевым моментом). Особенно часто встречается антиферромагнитное упорядочение, хотя нередко и ферромагнитное. Библиографию и обсуждение ранних экспериментальных данных по конкретным соединениям и соответствующих теоретических представлений можно найти в книге [3] и статье [4].

Класс «кондовских» магнетиков характеризуют следующие особенности [4, 5]:

1. Логарифмическая температурная зависимость удельного сопротивления при $T > T_K$, присущая кондо-системам. Эта зависимость может быть получена в третьем порядке теории возмущений, как и в оригинальном подходе Кондо [2].
2. Малое значение магнитной энтропии в точке упорядочения по сравнению со значением $R \ln(2J + 1)$ (R — универсальная газовая постоянная, J — номинальное значение магнитного момента), которое соответствует обычным магнетикам с локализованными моментами. Это явление связано с подавлением магнитной теплоемкости вследствие эффекта Кондо (экранирования моментов): лишь малая часть изменения энтропии связана с дальним магнитным порядком.
3. Упорядоченный магнитный момент μ_s мал по сравнению с высокотемпературным моментом $\mu_{\text{эф}}$, найденным из постоянной Кюри. Последний имеет, как правило, нормальное значение, близкое к соответствующему значению для редкоземельного иона (например $\mu_{\text{эф}} \simeq 2,5\mu_B$ для иона Ce^{3+}). Такое поведение напоминает слабые коллективизированные (зонные) магнетики.
4. Парамагнитная точка Кюри θ , как правило, отрицательна (даже для ферромагнетиков) и заметно превышает по абсолютной величине температуру магнитного упорядочения. Такое поведение может быть связано с большим одноузельному кондовскому вкладу в парамагнитную восприимчивость χ , который доминирует над межузельными обменными взаимодействиями. В частности, интерполяционная формула из точного решения модели Кондо, справедливая при $0.5T_K < T < 16T_K$, имеет вид $\chi(T) = 0.17/(T + 1.5T_K)$, где T_K — температура Кондо по Вильсону [6]. С другой стороны, определенную роль могут играть фрустрации обменных взаимодействий.

Что касается «классических» систем с тяжелыми фермионами (с большим $\gamma > 400$ мДж/моль К² [7]), здесь ситуация сложнее. Существуют ясные свидетельства анти-

ферромагнетизма в UCd_{11} и U_2Zn_{17} с тем же порядком величины μ_s [7]. Для соединений UPt_3 и URu_2Si_2 моменты насыщения крайне малы: $\mu_s \simeq 2-3 \cdot 10^{-2} \mu_B$. Признаки антиферромагнитного упорядочения с очень малым μ_s также наблюдалось для CeAl_3 , UBe_{13} , CeCu_2Si_2 , CeCu_6 (впрочем, ряд данных для этих систем подвергались сомнению, см. также обзор [8]).

Типичная особенность тяжелофермионных магнетиков — высокая чувствительность μ_s к внешним параметрам, таким, как давление и легирование малым количеством примесей. Например, UBe_{13} становится антиферромагнитным с заметным μ_s под давлением $P > 23$ кбар; напротив, CeAl_3 становится парамагнитным под давлением выше $P = 3$ кбар. Момент в UPt_3 увеличивается до значений порядка одного μ_B при замене 5% Pt на Pd или 5% U на Th. Ряд систем с тяжелыми фермионами претерпевают метамагнитные переходы в слабых магнитных полях с резким увеличением магнитного момента. Здесь характерно название обзора П. Коулмена [9]: «Тяжелые фермионы. Электроны на грани магнетизма».

В 1990-е годы был открыт еще один класс f -электронных систем: для ряда соединений и сплавов на основе церия и урана было обнаружено нефермижидкостное (НФЖ) поведение [10, 11, 12]. Оно проявляется в необычных температурных зависимостях электронной теплоемкости $C(T)$ вида $T \ln T$ или $T^{1-\lambda}$ с малыми показателями λ , аномальном степенном поведении магнитной восприимчивости T^ζ ($\zeta < 1$) и сопротивления T^μ ($\mu < 2$), и т. д. Часто НФЖ поведение возникает на границе магнитного упорядочения (квантового фазового перехода) [8], хотя обсуждаются и его другие разнообразные механизмы.

В данном обзоре рассмотрены современные теоретические представления и экспериментальные данные по необычному магнитному упорядочению плотных кондовских f -систем и его проявлению в электронных свойствах, включая нефермижидкостное поведение.

2 Экспериментальные результаты

Имеются многочисленные примеры соединений, где кондовские аномалии в термодинамических и кинетических свойствах сосуществуют с магнитным упорядочением, а момент насыщения μ_s имеет величину порядка магнетона Бора. Это ферромагнетики CePdSb , CeSi_x , Sm_3Sb_4 , Ce_4Bi_3 , NpAl_2 , антиферромагнетики CeAl_2 , TmS , CeB_6 , UAgCu_4 (см. более подробное обсуждение в [3]); встречаются и системы с более экзотическими магнитными свойствами. Ниже будут приведены последние результаты по магнетизму кондовских систем.

2.1 Цериевые системы

После активного исследования классических систем с тяжелыми фермионами и решеток Кондо, в 1980-е годы настало время для рассмотрения тройных систем. Один из наиболее ярких примеров здесь — кондовский ферромагнетик CeRh_3B_2 с температурой Кюри $T_C = 115$ К, парамагнитной температурой Кюри $\theta = -370$ К [13] и сравнительно небольшим $\gamma = 16$ мДж/моль \cdot К².

Постоянно обнаруживаются новые антиферромагнитные системы с низкой температурой Нееля и редуцированным моментом основного состояния, например $\text{Ce}_8\text{Pd}_{24}\text{Ga}$ ($T_N = 3.6$ К, $\mu_s = 0.36\mu_B/\text{ат. Ce}$ [14]), слоистые системы $\text{Ce}_3(\text{Pd,Pt})\text{In}_{11}$ [15].

Растет и число кондовских ферромагнетиков: CePt [16], CeRu_2Ge_2 [17], CeAgSb_2 , [18], CeRuPO [19], $\text{CeRu}_2\text{M}_2\text{X}$ ($\text{M} = \text{Al, Ga}$; $\text{X} = \text{B, C}$) [20, 21], CeIr_2B_2 [22], гидророгенированный CeNiSn [23], $\text{CeFe}_4\text{Sb}_{12}$ [24], $\text{Ce}_4\text{Sb}_{1.5}\text{Ge}_{1.5}$ ($T_C = 13$ К, $\theta = -9$ К) [25].

В системе $\text{Ce}_{1-x}\text{La}_x\text{PdSb}$, где имеется высокотемпературный логарифмический вклад в сопротивление, ферромагнитное кондо-состояние постепенно переходит в НФЖ в области $x > 0.7$, причем последнее по-видимому носит одноузельный характер [26].

Хороший пример конкуренции эффекта Кондо, антиферро — и ферромагнетизма дает система $(\text{Ce}_{1-x}\text{Nd}_x)_3\text{Al}$ [27]. Здесь при $x > 0.2$ антиферромагнитное упорядочением сменяется ферромагнитным, причем при низких температурах эффект Кондо и ферромагнетизм сосуществуют при $0.2 < x < 0.3$.

В работах [28, 29, 30] был исследован ряд соединений $\text{CeRu}_2\text{X}_2\text{M}$ ($\text{X} = \text{Al, Ga}$ и $\text{M} = \text{B, C}$), которые демонстрируют ферромагнетизм с T_C от 12.8 К ($\text{CeRu}_2\text{Al}_2\text{B}$) до 17.2 К ($\text{CeRu}_2\text{Ga}_2\text{C}$). Электронная теплоемкость этих систем невелика (γ около 30 мДж/моль К²), так что проявления эффекта Кондо являются слабыми. Согласно [31], в системе $\text{CeRu}_2\text{A}_2\text{B}$ при $T_C < T < T_N = 14.2$ К имеется несоизмеримый магнитный порядок. Последний возникает и в ряде других кондовских цериевых систем, например, в CeAu_2Ge_2 [32], $\text{Ce}_2\text{M}_m\text{In}_{3n+2m}$ [33].

В системе $\text{CeCd}_{0.7}\text{Sb}_2$ [34] наблюдается сильно анизотропный ферромагнетизм с $T_C = 3$ К и отрицательной парамагнитной температурой Кюри $\theta = -24$ К, причем при $T_N = 0.8$ К происходит переход в антиферромагнитное состояние. Аналогичная ситуация имеет место в системе $\text{CeZn}_{0.66}\text{Sb}_2$ [35] ($T_C = 3.6$ К, $T_N = 0.8$ К, $\theta = -11$ К).

Тройные интерметаллические соединения на основе церия типа CeTX_2 (T – переходный металл, $\text{X} = \text{Si, Ge, Sn}$) интересны благодаря необычным свойствам их основного состояния. В частности, CePtSi_2 – система с тяжелыми фермионами, где значение коэффициента Зоммерфельда достигает $\gamma = 1.7$ Дж/моль К² при 1.25 К [36], CeRhSi_2 [37] и CeNiSi_2 [38] – системы с сильными валентными флуктуациями. Описание таких интерметаллидов должны строиться на основе учета ряда факторов: окружения церия, гибридизации 4f-уровня с зоной проводимости, величины констант обменного взаимодействия.

Система CeRuSi_2 была подробно исследована в работах [39, 40, 41, 42]. Сосуществование эффекта Кондо и ферромагнетизма с малыми моментами порядка $0.1\mu_B$, возникающего ниже 11.2 К, подтверждается как исследованием кинетических свойств [41], так и мюонными измерениями [40]). Полевые зависимости намагниченности вплоть до очень сильных полей 150 Т показали отсутствие насыщения намагниченности, что напоминает поведение слабых коллективизированных магнетиков. На рис. 1 показано температурное изменение теплоемкости CeRuSi_2 [42]. На фоне достаточно высокой электронной теплоемкости магнитная теплоемкость имеет λ -пик в районе 11 К (соответствующее изменение энтропии $\Delta S = 2.7$ Дж/ моль К

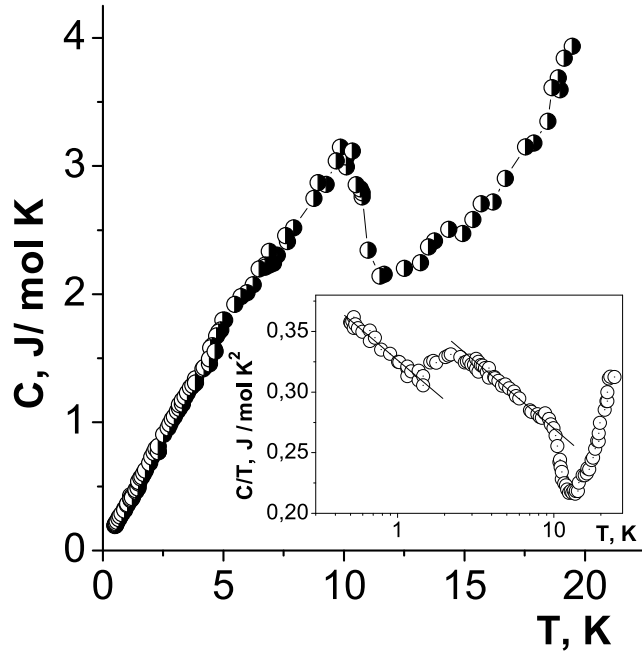


Рис. 1: Поведение теплоемкости CeRuSi_2 . На вставке – теплоемкость в логарифмическом масштабе

$= 0.5 R \ln 2$). Значение коэффициента Зоммерфельда, полученное путем стандартной экстраполяции зависимости C/T (выше температуры 20 K), составляет $\gamma \simeq 140$ мДж/моль K^2 , что соответствует умеренно тяжелым фермионам. При низких температурах γ растет и имеются указания на логарифмическое нефермижидкостное поведение теплоемкости, что особенно интересно для стехиометрического соединения (аномалия вблизи $T = 2$ K может быть связана с влиянием кристаллического поля).

В работе [42] был также исследован большой набор соединений CeRuX_2 , CeRu_2X_2 , $\text{Ce}_2\text{Ru}_3\text{X}_5$ и CeRuX_3 ($X = \text{Si}, \text{Ge}$). В системе CeRu_2Si_2 не наблюдается магнитного упорядочения, но есть кондовский максимум сопротивления при температуре 50 K (в CeRuSi_2 он гораздо выше – при 150 K). Это различие вероятно связано с более низкой температурой Кондо (объем элементарной ячейки в CeRu_2Si_2 существенно больше). Следует отметить, что метамагнетизм, ранее обсуждавшийся для CeRu_2Si_2 , теперь рассматривается как непрерывный кроссовер [43, 44], причем коллективизированный характер 4f-электронов сохраняется до очень сильных полей около 50 T [44], что напоминает ситуацию в CeRuSi_2 .

2.2 Иттербиевые системы

Особенно часто ферромагнитное упорядочение в сочетании с проявлениями эффекта Кондо встречается в тройных системах на основе иттербия. Иногда оно связано с формированием неколлинеарной магнитной структуры – например, в YbNiSn возникает малый скошенный ферромагнитный момент [45].

В ряде аномальных иттербиевых систем наблюдается линейное по температуре

сопротивление, свидетельствующее о нефермижидкостном поведении. Интересно, что подобное аномальное поведение сопротивления наблюдается и в системе YbMn_2Sb_2 с немагнитным иттербием, где обычный эффект Кондо должен отсутствовать. Эти аномалии могут быть связаны с рассеянием на псевдоспиновых степенях свободы [46].

В работе [47] были получены и исследованы новые тройные соединения на основе иттербия: YbPd_2Ge , YbPd_2Si , YbPdGe , YbPdSi , YbPtGe , а также YbPdGe_2 и ранее известное соединение YbPd_2Si_2 . Из гальваномагнитных свойств и магнитной восприимчивости было обнаружено, что германиевые соединения YbPdGe , YbPtGe и YbPd_2Ge при низких температурах (вблизи 16, 10, и 12 К соответственно) демонстрируют ферромагнитное упорядочение.

В более поздних работах результаты по магнитным и термодинамическим свойствам были дополнены. В работе [48] для YbPtGe были найдены значения $T_C = 5.4\text{K}$, $\gamma = 209$ мДж/моль K^2 ниже T_C . Магнитная энтропия в T_C составляла $0.52 R \ln 2$. Для YbPdGe в [49] были получены значения $T_C = 11.4$ К и $\gamma = 150$ мДж/моль K^2 ; ситуация в этой системе напоминает CeRuSi_2 .

В работе [50] обсуждаются различные проявления Кондо в YbPdGe и YbPtGe , включая логарифмический вклад в сопротивление, и проводится сравнение кинетических свойств с соответствующими цериевыми системами CePdGe и CePtGe (формально трехвалентные ионы церия и иттербия схожи, поскольку соответствуют одному электрону или дырке в 4f-оболочке). Как показано в [51], соединения CeTX ($T = \text{Pd}$ и Pt , $X = \text{Ga}$, Ge и Sn) являются кондовскими системами, антиферромагнитными при низких температурах – в противоположность YbTGe . В обзоре [52] различие этих случаев подробно обсуждается на примере YbRh_2Si_2 – типичного антиферромагнитного соединения иттербия с тяжелыми фермионами. Несмотря на сходство с CeRh_2Si_2 (близкие значения температуры Кондо T_K и амплитуды максимума сопротивления, линейность сопротивления выше T_N), имеются и заметные различия, которые можно связать с большей локализацией (меньшей степени гибридизации с электронами проводимости), а также более сильным спин-орбитальным взаимодействием в случае 4f-орбиталей иттербия.

Согласно работе [53], система YbPdSi является тяжелофермионным ферромагнетиком с $T_C = 8$ К и γ около 300 мДж/моль K^2 . Исследование соединений YbTGe ($T = \text{Rh}$, Cu , Ag) [54] показало, что YbRhGe является антиферромагнетиком с $T_N = 7$ К, YbCuGe – ферромагнетиком с моментом $0.7\mu_B$ и $T_C = 8$ К; в YbAgGe было найдено очень большое $\gamma = 570$ мДж/моль K^2 . Впоследствии в YbAgGe было обнаружено низкотемпературное неколлинеарное магнитное упорядочение [55]. Согласно [56], YbAgGe – фрустрированный тяжелофермионный антиферромагнетик со сложной магнитной фазовой диаграммой, проявляющий НФЖ поведение. В антиферромагнитной системе $\text{Yb}(\text{Rh}_{1-x}\text{Co}_x)_2\text{Si}_2$ был обнаружен ферромагнетизм при $x = 0.27$ ниже $T_C = 1.3$ К с моментом $0.1\mu_B$ [57].

Системы $\text{Yb}_2(\text{Pd}_{1-x}\text{Ni}_x)_2\text{Sn}$ [58] и $\text{Yb}_2\text{Pd}_2\text{In}_{1-x}\text{Sn}_x$ [59] демонстрируют фрустрированный магнетизм – необычное магнитное упорядочение возникает при легировании. В последней системе упорядочение возникает в узкой области вблизи $x = 0.6$ на фоне нефермижидкостного поведения.

В квазиодномерной системе YbNi_4P_2 был обнаружен экзотический ферромагнетизм с $T_C = 0.17$ К и крайне малым моментом насыщения $0.05 \mu_B$ [60]. При этом сопротивление линейно выше T_C , а коэффициент γ расходится сильнее, чем логарифмически.

2.3 Актинидные системы

Металлы группа урана проявляют сильную тенденцию к паулиевскому парамагнетизму в силу своей электронной структуры. Однако их магнетизм может существенно усиливаться в соединениях с переходными металлами: как благодаря увеличению межатомного расстояния (согласно критерию Хилла, это способствует формированию локализованных моментов), так и увеличению плотности состояний вблизи уровня Ферми [61]. Важным отличием аномальных урановых соединений от цериевых является более сильная делокализация 5f-электронов, что отражается и на спектре спиновых флуктуаций, которые становятся более сильными [62].

Существование кондовских аномалий и дальнего магнитного порядка в соединениях актинидов не является редким. В ряде актинидных систем ферромагнитное упорядочение сосуществует с кондовскими логарифмическими вкладами в сопротивление (см. также обсуждение в [63]). Вот некоторые примеры: UTe ($T_C = 102$ К [64]), UAsSe ($T_C = 109$ К [65]), $\text{UCu}_{0.9}\text{Sb}_2$ ($T_C = 113$ К [66]), $\text{UCo}_{0.5}\text{Sb}_2$ ($T_C = 64.5$ К [67]), UNiSi_2 ($T_C = 95$ К [68]), NpNiSi_2 ($T_C = 51.5$ К [69]). В соединении Np_2PtGa_3 ($T_C = 26$ К) наблюдается высокое значение $\gamma = 180$ мДж/моль Np K^2 [70].

Система $\text{UIr}_2\text{Zn}_{20}$ [71] по праву может быть названа ферромагнитной системой с тяжелыми фермионами. Здесь $\gamma = 450$ мДж/моль K^2 и остается высокой ниже точки Кюри $T_C = 2.1$ К, а момент насыщения составляет $0.4\mu_B$.

В соединении UAu_2Si_2 ниже ($T_C = 19$ К наблюдается некомпенсированный антиферромагнетизм со спонтанной намагниченностью вдоль оси c , причем при низких температурах $\gamma = 180$ мДж/моль K^2 [72].

Ряд актинидных систем демонстрируют нефермидкостное поведение. В системе $\text{Th}_{1-x}\text{U}_x\text{Cu}_2\text{Si}_2$ [73, 12] НФЖ поведение (C/T пропорционально $\ln T$, а сопротивление линейно по температуре) возникает в области составов, где ферромагнетизм подавлен.

Соединение URhGe ферромагнитно. В сплаве $\text{URh}_{1-x}\text{Ru}_x\text{Ge}$ [74] критическая концентрация подавления магнитного порядка равна $x_{cr} = 0.38$, температура Кюри обращается в нуль по линейному закону с ростом x , а ферромагнитный момент μ_s исчезает непрерывным образом ($\mu_s = 0.4\mu_B$ для $x = 0$). В точке x_{cr} теплоемкость ведет себя как $T \ln T$, а показатель в степенной зависимости сопротивления от температуры достигает минимума $\mu = 1.2$. Полная магнитная энтропия, полученная интегрированием C/T , составляет $0.48R \ln 2$ для $x = 0$ и падает до $0.33R \ln 2$ при x_{cr} .

В то же время соединение NpRhGe [75] является антиферромагнетиком с $T_N = 21$ К, упорядоченным моментом $\mu_{\text{Np}} = 1.14\mu_B$ и высоким значением $\gamma = 195$ мДж/моль K^2 .

В системе UCoGe ферромагнетизм также сменяется НФЖ состоянием при замене кобальта рутением [76].

Еще один пример нефермижидкостного поведения в ферромагнитной фазе дает тяжелофермионная система $\text{URu}_{2-x}\text{Re}_x\text{Si}_2$ [77]. В ней были обнаружены малый момент основного состояния $\mu_s = 0.44 \mu_B$ и зависимости $-\ln T$ (или $T^{-0.1}$) для C/T и T^μ с $\mu = 1.2$ для сопротивления в широком интервале температур ниже 20 К для $x = 0.6$. В то же время аномалий теплоемкости и сопротивления в точке магнитного перехода здесь не наблюдалось.

Получение чистых кристаллов UGe_2 и в последнее время из URhGe привело к открытию ферромагнитных сверхпроводников. Считается, что решающее значение для сосуществования ферромагнетизма и сверхпроводимости имеет триплетное спаривание [52, 74, 78].

3 Модели, теория возмущений и ренормгруппа для решеток Кондо

Долгое время считалось, что конкуренция межузельного обменного РККИ-взаимодействия и эффекта Кондо должна привести к формированию или обычного магнитного упорядочения с большими атомными магнитными моментами (как в чистых редкоземельных металлах), или немагнитного состояния Кондо с подавленными магнитными моментами [1]. Это рассуждение основывалось на критерии Дониаха [79], в котором сравниваются энергетические масштабы этих фаз. Однако приведенные выше экспериментальные данные заставили пересмотреть эту точку зрения и привели к развитию более сложных теоретических подходов.

Рассмотрим гамильтониан $s - f$ обменной модели,

$$H = H_s + H_f + H_{\text{int}} = \sum_{\mathbf{k}m\sigma} t_{\mathbf{k}} c_{\mathbf{k}m\sigma}^\dagger c_{\mathbf{k}m\sigma} - \sum_{\mathbf{q}} J_{\mathbf{q}} \mathbf{S}_{-\mathbf{q}} \mathbf{S}_{\mathbf{q}} - I \sum_{im\sigma\sigma'} (\mathbf{S}_i \boldsymbol{\sigma}_{\sigma\sigma'}) c_{im\sigma}^\dagger c_{im\sigma'}, \quad (1)$$

где $c_{\mathbf{k}m\sigma}^\dagger$, $c_{\mathbf{k}m\sigma}$ – операторы электронов проводимости, $t_{\mathbf{k}}$ – затравочная зонная энергия, \mathbf{S}_i – операторы локализованных спинов, $\boldsymbol{\sigma}$ – матрицы Паули, I – параметр $s - f$ обменного взаимодействия. Часто (например, в редкоземельных металлах) $f - f$ взаимодействие между локализованными спинами $J_{\mathbf{q}}$ является косвенным РККИ-обменом через электроны проводимости, причиной которого служит то же самое $s - f$ взаимодействие (хотя в ряде соединений может играть важную роль и сверхобменное взаимодействие). Однако при построении теории возмущений удобно включить $f - f$ взаимодействие в нулевой гамильтониан (такая модель получила в зарубежной литературе название модели Кондо-Гейзенберга).

В отличие от внутриатомного кулоновского (хэббардовского) взаимодействия, $s - f$ обменное взаимодействие как правило не является сильным, однако приводит к существенным эффектам в электронном спектре. С микроскопической точки зрения оно может иметь различную природу. В ряде редкоземельных систем (например, в магнитных полупроводниках) это внутриатомный хундовский обмен, который ферромагнитен. В редкоземельных соединениях $s - f$ обмен часто является не настоящим, а эффективным – обусловленным гибридизацией между s -зонами проводимости и атомными уровнями f -электронов; в этом случае он антиферромагнитен

($I < 0$). Последнее является необходимым для возникновения эффекта Кондо: при этом условии эффективное (перенормированное) обменное взаимодействие становится бесконечным в режиме сильной связи, так что магнитное рассеяние приводит к полному экранированию магнитных моментов [81, 6].

В гамильтониане (1) для общности учтено орбитальное вырождение: введен индекс $m = 1 \dots M$, где M – число каналов рассеяния электронов проводимости, которое может быть дополнительным формальным большим параметром при построении теории возмущений. Как впервые показали Нозьер и Бландин при анализе расщепления уровней в кристаллическом поле в случае одной кондовской примеси [82], скейлинговое поведение существенно зависит от соотношения величины локализованного спина и орбитального вырождения электронов. В случае $S > M/2$ имеем ситуацию недокомпенсации (неполного экранирования), когда в режиме сильной связи $S \rightarrow S - M/2$. При $S = M/2$ имеем обычный эффекта Кондо (полное экранирование, формирование тяжелой ферми-жидкости), а случай $S < M/2$ (перекомпенсация) наиболее сложен – здесь возникает нетривиальная фиксированная точка и нефермижидкостное поведение уже в однопримесном режиме.

В более общей $SU(N) \otimes SU(M)$ модели мы имеем $\sigma = 1 \dots N$ и гамильтониан записывается как [80]

$$H = \sum_{\mathbf{k}m\sigma} t_{\mathbf{k}} c_{\mathbf{k}m\sigma}^{\dagger} c_{\mathbf{k}m\sigma} - I \sum_{im\sigma\sigma'} |i\sigma'\rangle \langle i\sigma| c_{im\sigma}^{\dagger} c_{im\sigma'} + H_f \quad (2)$$

При $N = 2$ мы возвращаемся к $s - f$ модели со спином $S = 1/2$, а случай $M = N$ соответствует модели Коблина-Шриффера, где также имеет место полная компенсация. Более реалистическая модель, включающая угловые моменты, обсуждается в [5]; возможно и обобщение на случай произвольного спина S (см, напр., [80, 83]).

Обсудим различные возможности формирования магнитного состояния. Самым простым механизмом является возникновение режима недокомпенсации магнитных моментов ($S > M/2$ при $N = 2$). По-видимому, он реализуется в некоторых ферромагнитных урановых соединениях, где эффект Кондо заметно проявляется только в парамагнитной фазе [63].

Более обычна ситуации полной компенсации $S = M/2$, которая естественно возникает в реальных системах со сложной электронной структурой и вырожденными зонами. Здесь относительные роли эффекта Кондо и междузельного РККИ-взаимодействия задаются величинами двух энергетических масштабов: температуры Кондо $T_K \sim D \exp(1/2I\rho)$ ($\rho = \rho(E_F)$ – затравочная плотность состояний на уровне Ферми, D – ширина зоны проводимости), которая определяет кроссовер между режимом свободных моментов и областью сильной связи, и $T_{\text{РККИ}} \sim I^2\rho$. Последняя величина имеет порядок температуры магнитного упорядочения T_M в отсутствие эффекта Кондо. Отношение T_K/T_M может изменяться в зависимости от внешних параметров и состава системы при легировании.

В немагнитном случае $T_{\text{РККИ}} \sim \bar{\omega}$, где $\bar{\omega}$ – характерная частота спиновых флуктуаций. Для большинства обсуждаемых соединений $T_K > T_{\text{РККИ}}$. Однако существуют также аномальные магнетики, содержащие церий и уран, с $T_K \ll T_N$, например CeAl_2Ga_2 , UAgCu_4 . Аналогичная ситуация имеет место в ферромагнитных системах

CeRu₂X₂M [28, 29]. Этот случай близок к элементарным редкоземельным магнитным металлам, где эффект Кондо практически полностью подавлен магнитным упорядочением и дает лишь малые поправки к магнитному моменту.

В качестве первого шага к описанию формирования состояния кондовского магнетика полезно рассмотреть поправки теории возмущений к магнитным характеристикам [84, 5]. При этом, в отличие от однопримесной проблемы Кондо, следует учесть эффекты межпримесного обменного взаимодействия, которое приводит к возникновению спиновой динамики. Вычисление магнитной восприимчивости приводит к результату

$$\chi = \frac{S(S+1)}{3T}(1 - 4I^2L), \quad L = \frac{MN/2}{S(S+1)} \sum_{\mathbf{p}\mathbf{q}} \int K_{\mathbf{p}-\mathbf{q}}(\omega) \frac{n_{\mathbf{p}}(1 - n_{\mathbf{q}})}{(t_{\mathbf{q}} - t_{\mathbf{p}} - \omega)^2} d\omega \quad (3)$$

где $K_{\mathbf{q}}(\omega)$ – спиновая спектральная плотность.

Из простой логарифмической оценки интеграла в (3) следует

$$\chi = \frac{S(S+1)}{3T} \left(1 - MNI^2\rho^2 \ln \frac{D^2}{T^2 + \bar{\omega}^2} \right), \quad (4)$$

где величина в скобках описывает подавление эффективного момента.

Кондовские поправки к магнитному моменту в ферро- и антиферромагнитном состояниях получаются с использованием стандартного спин-волнового результата

$$\delta\bar{S} = - \sum_{\mathbf{q}} N_{\mathbf{q}}, \quad N_{\mathbf{q}} = \langle b_{\mathbf{q}}^{\dagger} b_{\mathbf{q}} \rangle \quad (5)$$

подстановкой поправки к числам заполнения магнонов $N_{\mathbf{q}}$ при нулевой температуре, которая обусловлена затуханием спиновых волн вследствие рассеяния на электронах проводимости. В случае ферромагнетика имеем (здесь для простоты $N = 2, M = 1$)

$$\delta N_{\mathbf{q}} = 2I^2S \sum_{\mathbf{k}} \frac{n_{\mathbf{k}\downarrow}(1 - n_{\mathbf{k}-\mathbf{q}\uparrow})}{(t_{\mathbf{k}\downarrow} - t_{\mathbf{k}-\mathbf{q}\uparrow} - \omega_{\mathbf{q}})^2}, \quad (6)$$

где $n_{\mathbf{k}\sigma}$ – числа заполнения электронов (фермиевские функции). Вычисление как для ферромагнетика, так и антиферромагнетика дает [5, 85]

$$\delta\bar{S}/S = -MNI^2\rho^2 \ln \frac{D}{\bar{\omega}}. \quad (7)$$

Эти поправки к моменту в основном состоянии возникают в любых проводящих магнетиках, включая чистые f -металлы. Однако в последнем случае они должны быть малы (порядка 10^{-2}).

Поправки к электронным характеристикам могут быть вычислены аналогичным образом; в электронной собственной энергии $\Sigma_{\mathbf{k}}(E)$ кондовские вклады третьего порядка (определяющие перенормировку $s-f$ обменного параметра) также обрезаются на $\bar{\omega}$. Следует отметить, что при наличии спиновой динамики расходимости кондовского типа в $\Sigma_{\mathbf{k}}(E)$ возникают уже в членах второго порядка, которые дают вклад

в усиление эффективной массы [84]. Формально эти расходимости связаны с функцией Ферми, а соответствующие вклады аналогичны электрон-фононной или спин-флуктуационной (парамагнетонной) перенормировке.

В целях получения самосогласованной картины для магнетика с заметными кондовскими перенормировками нужно вычислить поправки к характерным частотам спиновых флуктуаций $\bar{\omega}$. В парамагнитной фазе оценка поправки второго порядка к динамической восприимчивости дает [86]:

$$\omega_{\mathbf{q}}^2 = \frac{4}{3}S(S+1) \sum_{\mathbf{p}} (J_{\mathbf{q}-\mathbf{p}} - J_{\mathbf{p}})^2 [1 - 4I^2L(1 - \alpha_{\mathbf{q}})]. \quad (8)$$

Здесь величина L определена в (3),

$$\alpha_{\mathbf{q}} = \sum_{\mathbf{R}} J_{\mathbf{R}}^2 \left(\frac{\sin k_{\text{F}}R}{k_{\text{F}}R} \right)^2 [1 - \cos \mathbf{q}\mathbf{R}] \Big/ \sum_{\mathbf{R}} J_{\mathbf{R}}^2 [1 - \cos \mathbf{q}\mathbf{R}], \quad (9)$$

сумма идет по векторам решетки. Поскольку $0 < \alpha_{\mathbf{q}} < 1$, эффект Кондо приводит к уменьшению $\bar{\omega}(T)$ при понижении температуры. В приближении ближайших соседей (с периодом решетки d) для $J(\mathbf{R})$ значение α не зависит от \mathbf{q} , так что $\alpha = \sin^2(k_{\text{F}}d)/(k_{\text{F}}d)^2$. Вычисление поправок к частоте спиновых волн в ферромагнитной и антиферромагнитной фазе вследствие магнетон-магнетонного взаимодействия, а также электрон-магнетонного рассеяния приводит к результату [5, 85]

$$\delta\omega_{\mathbf{q}}/\omega_{\mathbf{q}} = -2MNI^2\rho^2 a \ln \frac{D}{\bar{\omega}}, \quad (10)$$

где множитель a зависит от типа магнитного упорядочения.

Приведенные результаты теории возмущений дают возможность качественного описания состояния кондо-решетки как магнетика с малым магнитным моментом [86]. Будем понижать температуру, стартуя с парамагнитного состояния. При этом магнитный момент «компенсируется», но, в отличие от однопримесной ситуации, степень компенсации определяется $(T^2 + \bar{\omega}^2)^{1/2}$ вместо T . В то же время сама $\bar{\omega}$ уменьшается согласно (8). Этот процесс не может быть описан аналитически в рамках теории возмущений. Однако, если иметь в виду образование единого универсального энергетического масштаба порядка T_{K} , то нужно выбрать $\bar{\omega} \sim T_{\text{K}}$ при $T < T_{\text{K}}$. Последний факт подтверждается большим числом экспериментальных данных относительно квазиупругого нейтронного рассеяния в кондо-системах, которые показывают, что при низких температурах типичная ширина центрального пика $\Gamma \sim \bar{\omega}$ имеет тот же самый порядок величины, что и фермиевская температура вырождения, определенная из термодинамических и кинетических свойств, т. е. T_{K} . Следовательно, процесс компенсации магнитного момента завершается где-то на границе области сильной связи и приводит к состоянию с конечным (хотя, возможно, и малым) моментом насыщения μ_s .

Более последовательное рассмотрение проблемы магнетизма решеток Кондо может быть выполнено в рамках подхода ренормгруппы. В простейшей форме андерсоновского «скейлинга для бедных» (poor man scaling) [87] ренормгрупповые уравнения для эффективного $s - f$ параметра и $\bar{\omega}$ записываются на основе рассмотрения

интегралов по импульсам в многоэлектронных кондовских поправках к электронной собственной энергии и частоте спиновых флуктуаций [88, 5, 89].

Чтобы построить процедуру скейлинга, нужно выделить вклады от энергетического слоя $C < E < C + \delta C$ около уровня Ферми $E_F = 0$. Например, в случае ферромагнетика из эффективного расщепления в электронном спектре, определяемого из собственной энергии второго порядка,

$$2I_{\text{eff}}S = 2IS - [\Sigma_{\mathbf{k}\uparrow}^{\text{FM}}(E_F) - \Sigma_{\mathbf{k}\downarrow}^{\text{FM}}(E_F)]_{k=k_F} \quad (11)$$

находим

$$\delta I_{\text{ef}} = I^2 \sum_{C < t_{\mathbf{k}+\mathbf{q}} < C + \delta C} \left(\frac{1}{t_{\mathbf{k}+\mathbf{q}} + \omega_{\mathbf{q}}} + \frac{1}{t_{\mathbf{k}+\mathbf{q}} - \omega_{\mathbf{q}}} \right) = \frac{\rho I^2}{\bar{\omega}} \delta C \ln \left| \frac{C - \bar{\omega}}{C + \bar{\omega}} \right|, \quad (12)$$

где $\bar{\omega} = 4Dk_F^2$, D — спин-волновая жесткость. Вводя безразмерные константы связи $g = -NI\rho$, $g_{\text{ef}}(C) = -NI_{\text{ef}}(C)\rho$ и заменяя в поправках теории возмущений $g \rightarrow g_{\text{ef}}(C)$, получаем систему уравнений ренормгруппы в однопетлевом приближении:

$$\partial g_{\text{ef}}(C)/\partial C = -\Lambda, \quad \partial \ln \bar{\omega}_{\text{ef}}(C)/\partial C = aM\Lambda/N, \quad \partial \ln \bar{S}_{\text{ef}}(C)/\partial C = M\Lambda/N, \quad (13)$$

где

$$\Lambda = \Lambda(C, \bar{\omega}_{\text{ef}}(C)) = [g_{\text{ef}}^2(C)/C]\eta(\bar{\omega}_{\text{ef}}(C)/C). \quad (14)$$

Скейлинговая функция для пара-, ферро- и антиферромагнитных фаз равна:

$$\eta(x) = \begin{cases} x^{-1} \arctan x, & \text{PM,} \\ \frac{1}{2x} \ln \left| \frac{1+x}{1-x} \right|, & \text{FM,} \\ -x^{-2} \ln |1 - x^2|, & \text{AFM.} \end{cases} \quad (15)$$

Как показывают результаты исследования уравнений (13)–(15) [88, 5], в зависимости от соотношения между однопримесной температурой Кондо и затравочной частотой спиновых флуктуаций возможны три режима:

1. Режим сильной связи, где g_{ef} расходится при некотором C . Он грубо определен условием $\bar{\omega} < T_K = D \exp(-1/g)$. Здесь $I_{\text{ef}}(C \rightarrow 0) = -\infty$, так что все электроны проводимости связаны в синглетные состояния и спиновая динамика подавлена.
2. Режим «кондовского» магнетика с заметной, но неполной компенсацией магнитных моментов, который реализуется в интервале $T_K < \bar{\omega} < AT_K$ (A — числовой множитель порядка единицы), соответствующем малому интервалу $\delta g \sim g^2$. В этом интервале перенормированные значения магнитного момента и частоты спиновых флуктуаций $\bar{S}_{\text{ef}}(0)$ и $\bar{\omega}_{\text{ef}}(0)$ увеличиваются от нуля почти до затравочных значений.
3. Режим «обычных» магнетиков с малыми логарифмическими поправками к моменту основного состояния (см. (7)), возникающий при $\bar{\omega} > AT_K$. В этом случае нет существенной зависимости от знака I .

В случае 2 имеет место высокая чувствительность магнитного состояния к внешним факторам, так что магнитный момент сильно меняется при малых вариациях затравочного параметра взаимодействия.

Переход в магнитное состояние по затравочной константе связи g описывается как квантовый фазовый переход со своими критическими индексами [5]. В его узкой окрестности возникает НФЖ поведение, где g_{ef} возрастает линейно с увеличением $\xi = \ln |D/C|$ (см. обсуждение в следующем разделе). Критическое значение g_c существенно зависит от типа магнитного упорядочения и структуры магнетонного спектра (например, наличия в нем щели), размерности пространства и др. Таким образом, критерий Дониаха $g_c \simeq 0.4$ [79], полученный для простой одномерной модели, вряд ли может быть применимым к реальным системам. В рамках первопринципных расчетов эти проблемы обсуждаются в работе [90].

Разумеется, при рассмотрении квантового магнитного фазового перехода требуется более точный учет магнитных флуктуаций, включая импульсные зависимости. Недавно для анализа фазовой диаграммы двумерной антиферромагнитной решетки Кондо было использовано ϵ -разложение в методе ренормгруппы с использованием нелинейной сигма-модели [91]. Важную роль также может играть изменение топологии поверхности Ферми [92].

4 Магнетизм и нефермижидкостное поведение. Многоканальная модель Кондо

Для объяснения нефермижидкостного поведения f -систем был выдвинут ряд идей. Поскольку многие НФЖ соединения являются неупорядоченными сплавами, были предложены механизмы, связанные с разупорядочением в решетках Кондо [93], а также использована модель сингулярностей Гриффитса–Мак-Коя [94]. Как упомянуто во Введении, НФЖ поведение чаще всего наблюдается на границе магнитной неустойчивости – при квантовых фазовых переходах (QPT), в непосредственной близости которых (регулируемой составом либо внешним давлением) магнитный порядок подавлен вплоть до нулевой температуры. В этой связи предлагались механизмы, связанные со спиновыми флуктуациями [95], и подходы, рассматривающие поведение вблизи QPT, – в «чистом» пределе [96] или с учетом разупорядочения [97].

Как показывают расчеты по теории возмущений в $s - f$ модели антиферромагнетика [98], в двумерном случае ($d = 2$) или в ситуации фрустрированного магнетонного спектра для $d = 3$ межзонные вклады в электронную теплоемкость дают зависимость $T \ln(T/T^*)$ вместо линейной, а вместо квадратичной зависимости сопротивления имеем при $d = 2$ либо при $d = 3$ в ситуации «нестинга» для электронного спектра имеем $R(T) \sim T \ln(T/T^*)$. Разумеется, эти зависимости справедливы в ограниченном температурном интервале $T > T^*$, где величина $T^* \sim T_N \bar{\Delta}/E_F$ определяется величиной спинового расщепления $\bar{\Delta} = 2|I|S$ (в случае ферромагнетика T^* порядка $T_C I^2$ из-за квадратичного спектра спиновых волн). Аналогичные зависимости возникают в слабых коллективизированных моделях на границе магнитного фазового

перехода [99, 100, 95]. С другой стороны, как мы видели, в некоторых веществах НФЖ поведение сохраняется существенно выше температуры упорядочения или в магнитоупорядоченной фазе – достаточно далеко от критической точки QPT.

НФЖ поведение может быть описано в многоканальной модели Кондо [101, 102, 103, 80], где оно возникает в режиме переэкранирования магнитных моментов. Здесь состояние полной компенсации неустойчиво: с локализованным спином (даже при $S = 1/2$) связывается целый комплекс электронов проводимости, и получающийся композитный объект продолжает взаимодействовать с морем электронов. В результате возникает инфракрасная фиксированная точка.

В данной ситуации необходимо обобщить ренормгрупповое рассмотрение предыдущего раздела, рассматривая скейлинг высшего порядка. В однопримесном случае скейлинговое поведение определяется бета-функцией $\beta(g) = \partial g_{ef}(C)/\partial \ln |C|$, разложение которой дает [103]

$$\beta(g) = -g^2 + (M/N)g^3 + \dots \quad (16)$$

При $M > N$ (для простоты обсуждается случай $S = 1/2$) фиксированная точка $g^* = N/M$ (нуль $\beta(g)$) лежит в области слабой связи, так что оправдано использование теории возмущений и ренормгруппы. Напротив, в случае компенсации ($M = 1$), обсуждавшемся в разделе 3, такое рассмотрение неприменимо – фиксированная точка с большим g^* является нефизической.

Решение скейлингового уравнения дает

$$\frac{g^* - g_{ef}(C)}{g^* - g} = g^* \left| \frac{C}{T_K} \right|^\Delta \exp\left(-\frac{g^*}{g_{ef}(C)}\right) \quad (17)$$

где $\Delta = N/M$ и температура Кондо равна

$$T_K = Dg^{M/N} \exp(-1/g). \quad (18)$$

В таком подходе расходимость $g_{ef}(\xi)$ отсутствует, а степенное критическое поведение (17) имеет место в широком интервале, включая область $|C| > T_K$ [103]. Критические показатели определяются наклоном $\Delta = \beta'(g)$. Вычисление с учетом высших порядков по $1/M$ приводит к результату

$$\Delta = \frac{N}{M} \left(1 - \frac{N}{M}\right) \simeq \frac{N}{M+N}, \quad (19)$$

что согласуется с точными результатами из анзаца Бете и конформной теории поля (см. [80]). Для соответствующего значения g^* при $N = 2$ разложение дает $g^* = \frac{2}{M} \left(1 - \frac{2 \ln 2}{M}\right)$ [103], что слегка отличается от Δ .

Важный случай $M = N = 2$ более сложен с теоретической точки зрения и не может быть рассмотрен простыми аналитическими методами. Здесь восприимчивость и коэффициент теплоемкости при понижении температуры расходятся логарифмически, как дают те же анзац Бете и конформная теория поля (см. обзор [80]).

Перейдем теперь к случаю решетки [85]. Аналогично рассмотрению в разделе 3 находим

$$\partial g_{ef}(C)/\partial C = -[1 - (N/M)g_{ef}(C)]\Lambda \quad (20)$$

При этом перенормировка частоты $\bar{\omega}$ в ведущем порядке по M описывается тем же уравнением, что и в (13). Тогда имеем ($\gamma = M/N$)

$$\frac{\bar{S}_{ef}(C)}{S} = \left(\frac{\bar{\omega}_{ef}(C)}{\bar{\omega}} \right)^{1/a} = \frac{1 - \gamma g_{ef}(C)}{1 - \gamma g} = \frac{g^* - g_{ef}(C)}{g^* - g}, \quad (21)$$

где a введено в (10). Таким образом, мы имеем ситуацию мягкой бозонной моды при приближении к фиксированной точке $g^* = 1/\gamma$.

Вводя функцию

$$\psi(\xi) = \ln \frac{\bar{\omega}}{\bar{\omega}_{ef}(\xi)} = a \ln \frac{\bar{S}_{ef}(C)}{S} \quad (22)$$

можно записать скейлинговое уравнение в виде

$$\frac{\partial \psi}{\partial \xi} = \frac{a}{\gamma} [1 - (1 - \gamma g) \exp(-\psi/a)]^2 \Psi(\lambda + \psi - \xi) \quad (23)$$

где

$$\Psi(\xi) = \eta(e^{-\xi}), \quad \xi = \ln |D/C|, \quad \lambda = \ln(D/\bar{\omega}) \gg 1$$

Приведенные уравнения записаны в терминах γ , а не M и N по отдельности. Поэтому, чтобы установить соответствие с однопримесным случаем (19), можно положить $\gamma = M/N + 1 = 1/\Delta$. Это дает, по крайней мере при $M > 2$, правильные критические показатели для магнитной восприимчивости, теплоемкости и сопротивления.

В парамагнитной фазе при больших $\xi = \ln |D/C|$ можно положить для оценки $g_{ef}(\xi) \simeq g^* = 1/\gamma$. Тогда имеем степенное поведение

$$\begin{aligned} \bar{\omega}_{ef}(C) &\simeq \bar{\omega}(|C|/T_K)^\beta, & \beta &= a/\gamma = a\Delta \\ \bar{S}_{ef}(C) &\simeq (|C|/T_K)^\Delta, \end{aligned} \quad (24)$$

Оно имеет место в ограниченном интервале значений ξ , определяемом спиновой динамикой, — вплоть до $\xi = \xi_1 \simeq (\lambda - \beta/g)/(1 - \beta)$. При $\xi \rightarrow \infty$ величина $\psi(\xi)$ остается конечной, а $g_{ef}(\xi)$ стремится к значению, несколько меньшему, чем однопримесное g^* (рис. 2).

В случае магнитного упорядочения поведение для $\xi < \xi_1$ аналогично, но для $\xi > \xi_1$ важную роль играют сингулярности Ван-Хова в скейлинговой функции: вместо убывания $\Psi(\lambda + \psi - \xi)$ может начать возрастать при приближении к ξ_1 , аргумент функции Ψ in (23) становится практически постоянным (фиксированным), и мы имеем (Рис. 3)

$$\psi(\xi) \simeq \xi - \lambda, \quad \bar{\omega}_{ef}(C) \simeq |C|. \quad (25)$$

В отличие от парамагнитного случая, здесь имеет место резкий кроссовер с изменением g : режим (25) не достигается при $g < g_c$. Значение g_c определяется величиной магнетонного затухания δ , на котором обрезаются сингулярности функции (15). Поведение (25) имеет критическую природу: в случае одноканальной модели Кондо оно возникает только при критическом $g = g_c$, соответствующем квантовому магнитному фазовому переходу.

Вообще, однопетлевой скейлинг, рассмотренный в предыдущем разделе, дает для конечных M НФЖ поведение лишь в очень узком интервале затравочной константы

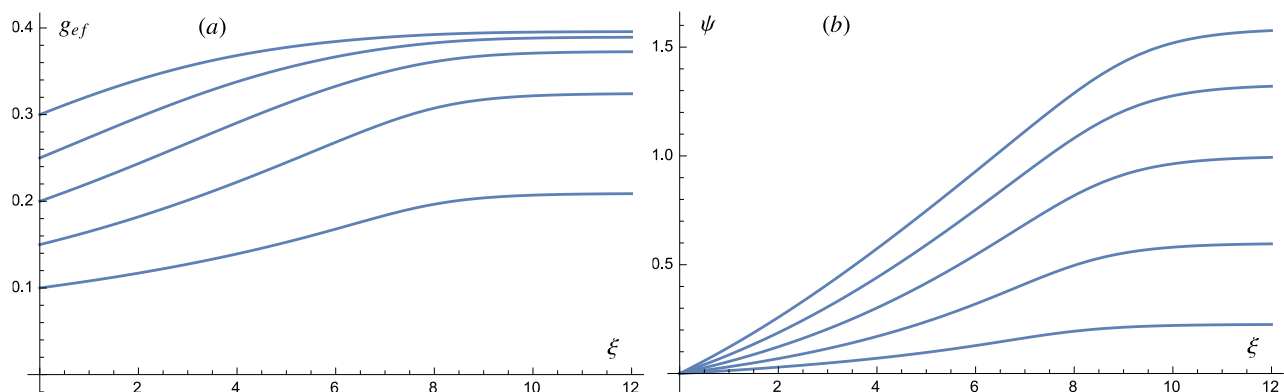


Рис. 2: Скейлинговые траектории для случая парамагнетика $g_{ef}(\xi)$ (a) и $\psi(\xi)$ (b) [85]. Значения параметров: $\gamma = 5/2$, $\lambda = 7$, $a = 1/2$, $g = 0.1, 0.15, 0.2, 0.25, 0.3$ (снизу вверх)

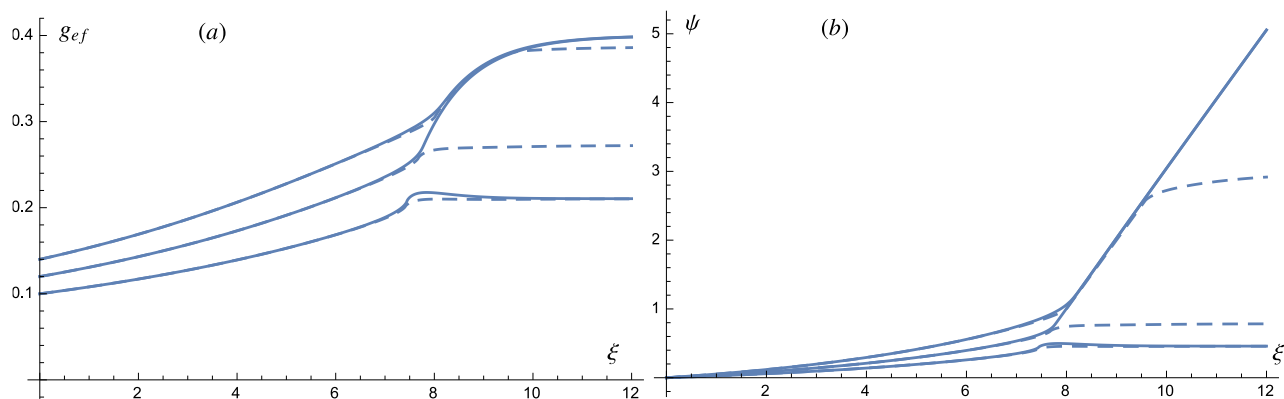


Рис. 3: Скейлинговые траектории для случая трехмерного антиферромагнетика $g_{ef}(\xi)$ (a) и $\psi(\xi)$ (b) [85] для $\gamma = 5/2$, $\lambda = 7$, параметра затухания $\delta = 2 \cdot 10^{-4}$, $a = 1$, $g = 0.1, 0.12, 0.14$ (снизу вверх). Пунктир соответствует учету некогерентного вклада в спиновую спектральную плотность

связи g , поскольку с ростом g мы быстро переходим в режим сильной связи, где $g_{ef}(\xi > \lambda) \rightarrow \infty$. Однако существуют механизмы, приводящие к расширению области НФЖ поведения и в случае $M = 1$ (когда описанный механизм в данном разделе возникновения фиксированной точки не реализуется). В частности, это происходит при учете затухания спиновых возбуждений [104].

Как показано в [104], в случае особого вида спектральной функции спиновых возбуждений, который может реализоваться в многоподрешеточных магнетиках, аргумент функции Ψ также может фиксироваться на скейлинговой траектории. Это приводит к линейному возрастанию $g_{ef}(\xi)$, так что НФЖ поведение возникает в широком интервале затравочной константы связи $g_{c1} < g < g_{c2}$,

При наличии ван-хововских особенности электронного спектра область НФЖ поведения также расширяется [105]. Такие особенности могут существенно повлиять на структуру теории возмущений. При этом скейлинговое поведение будет определяться не только близостью уровня Ферми ($C \rightarrow 0$), но и расстоянием до особенности; в определенных ситуациях возможно ослабление зависимости константы связи от ее затравочного значения. Интересной возможностью является пиннинг (залипание) уровня Ферми у особенности ван-Хова [106].

Существует также возможность, что фиксированная точка, аналогичная случаю многоканальной модели Кондо, появится в случае одноканальной модели с особенностью плотности состояний или нестинга [107] (отметим, что гигантские особенности ван-Хова формируются при пересечении более слабых особенностей [108], т.е. связаны с вырождением зон).

Теперь обсудим поведение физических свойств для случая $N = 2$. Температурные зависимости магнитного момента и восприимчивости в парамагнитном случае получаются непосредственно из приведенных выше результатов с помощью замены $|C| \rightarrow T$,

$$S_{ef}(T) \propto (T/T_K)^\Delta, \quad \chi(T) \propto S_{ef}^2(T)/T \propto (T/T_K)^{2\Delta}/T. \quad (26)$$

Аналогичная зависимость получается для электронной теплоемкости [103]. В отличие от однопримесного случая, эти зависимости справедливы в ограниченном температурном интервале.

Температурная поправка к магнитному сопротивлению имеет вид [103]

$$\delta R_m(T) \propto g_{ef}(T) - g^* \propto -(T/T_K)^\Delta. \quad (27)$$

Зависимость $T^{1/2}$ (которая соответствует $M = 2$) действительно наблюдается в ряде f -систем [80]. С другой стороны, как обсуждалось выше, рассматриваемое приближение не учитывает логарифмических расходимостей, возникающих в восприимчивости и теплоемкости при $M = 2$ ($\Delta = 1/2$).

В спин-волновой области имеем для антиферромагнетика $\chi \propto \bar{S}/\bar{\omega}$. Заменяя $\bar{\omega} \rightarrow \bar{\omega}_{ef}(C)$, $\bar{S} \rightarrow \bar{S}_{ef}(C)$ с $|C| \sim T$ в духе скейлингового рассмотрения, находим

$$\chi(T) \propto T^{-\zeta}, \quad \zeta = \begin{cases} \Delta(a-1)/a \\ (a-1)/a \end{cases} \quad (28)$$

в режимах (24) и (25) соответственно. Неуниверсальный показатель ζ определяется деталями магнитной структуры и может быть как положительным, так и отрицательным.

Для электронной теплоемкости в антиферромагнитном случае имеем

$$C_{el}(T)/T \propto g_{ef}^2(T) \overline{S}_{ef}(T) / \overline{\omega}_{ef}(T) \propto \chi(T). \quad (29)$$

что находится в согласии с экспериментальными данными по НФЖ системам [101, 80].

Таким образом, многоканальная модель решетки Кондо естественно описывает формирование магнитного состояния с малым значением момента. Кроме того, она дает пример существенной перенормировкой константы связи в соответствии с (21). Это может представлять интерес для общей теории металлического магнетизма (в частности, для слабого зонного ферро- и антиферромагнетиках): магнитное состояние определяется процессом перенормировки, а не критерием Стонера с затравочными параметрами.

Важной проблемой является устойчивость фиксированной точки: снятие вырождения электронных подзон с различным m в гамильтониане (1) должно приводить к изменению скейлингового поведения, так что аномальные температурные зависимости будут сохраняться лишь в ограниченном интервале. Применения двухканальной модели к редкоземельным и актинидным системам, в том числе соответствующие трудности интерпретации, обсуждаются в обзоре [80]. В случае урановых систем реализация этой модели возможна благодаря симметрии подзон относительно инверсии времени.

5 Проблема основного состояния. Приближение среднего поля в представлении псевдофермионов

Методы теории возмущений и скейлинга, рассмотренные выше, не позволяют описать основное состояние решеток Кондо в режиме сильной связи (в этой связи следует отметить работу [109], где такое описание было получено в однопримесной модели диаграммным методом). Поэтому проблема сильно коррелированного основного состояния плотных кондовских систем весьма сложна.

Принципиальным является тот факт, что f -электроны в системах с тяжелыми фермионами ведут себя необычно – проявляют делокализацию, которая подтверждена наблюдением больших электронных масс в экспериментах по эффекту де Гааза–ван Альфена. Такое поведение весьма нетривиально в $s - f$ обменной модели (в отличие от модели Андерсона с f -состояниями вблизи уровня Ферми, где имеется затравочная $s - f$ гибридизация и возникает состояние промежуточной валентности). Эта делокализация аналогична появлению фермиевской ветви возбуждения в теории резонирующих валентных связей для высокотемпературных сверхпроводников, так что поверхность Ферми может быть спиновой, причем не только в двумерном, но и в трехмерном случае [110]. В результате коллективизации f -состояний нарушается теорема Латтинджера о постоянстве объема под поверхностью Ферми и возникает так называемая большая поверхность Ферми (это изменение статистики в чем-то аналогично формированию и разрушению хаббардовских подзон [111]).

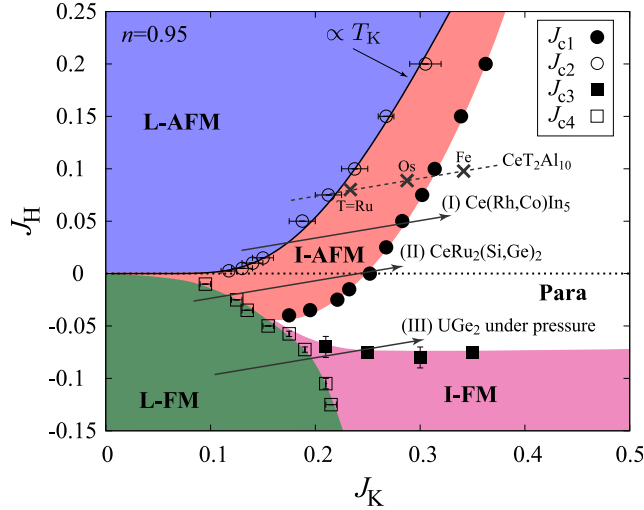


Рис. 4: Фазовая диаграмма решетки Кондо–Гейзенберга в плоскости J_H – J_K (где $J_K = -2I$) при $T = 0.001$ [112]. Сокращения L и I означают локализованный и коллективизированный (itinerant); величины по осям в единицах ширины зоны

В основном состоянии при изменении параметра взаимодействия происходит квантовый фазовый переход в металл с обычной малой поверхностью Ферми. Такой скачок поверхности Ферми действительно наблюдается в YbRh_2Si_2 и CeRhIn_5 [92]. При этом остается вопрос, как формируется магнетизм: возникает ли магнитное упорядочение при разрушении кондовского состояния, или магнитный переход происходит в границах кондовской фазы путем формирования волны спиновой плотности (SDW). В последнем случае формирование малых моментов происходит естественно, по крайней мере в ситуации антиферромагнетизма. В то же время магнитное упорядочение, меняя зону Бриллюэна, само может оказывать существенное влияние на зонную структуру и поверхность Ферми.

Переход от малой поверхности Ферми к большой может рассматриваться как переход от локализованного к коллективизированному магнетизму. Соответствующее обсуждение на основе расчетов методом Монте-Карло в комбинации с методом динамической теории среднего поля (DMFT) проведено в работе [112] в применении к фазовым переходам в системах $\text{CeRh}_{1-x}\text{Co}_x\text{In}_5$, $\text{CeRu}_2(\text{Si}_x\text{Ge}_{1-x})_2$, UGe_2 , $\text{CeT}_2\text{Al}_{10}$ ($T = \text{Fe, Ru, Os}$), причем было рассмотрено как ферро-, так и антиферромагнитное гейзенберговское взаимодействие (рис. 4).

Конкуренция магнитных взаимодействий (фрустрации) может приводить к многообразию фазовых переходов, в том числе между магнитными и парамагнитными состояниями с большой и малой поверхностью Ферми (см. обсуждение в [92, 113, 114]). Например, в $\text{Ce}_3\text{Pd}_{20}\text{Si}_6$ и YbRh_2Si_2 кондовское экранирование, по видимому, исчезает при магнитном переходе, а при легировании последнего соединения кобальтом или иридием возникают два отдельных фазовых перехода [115]. Согласно нейтронным данным для CeCu_2Si_2 , магнитное упорядочение связано с нестингом большой поверхности Ферми тяжелых квазичастиц [116]. Экзотическое магнитное состояние в CePdAl , обусловленное фрустрациями, обсуждается в

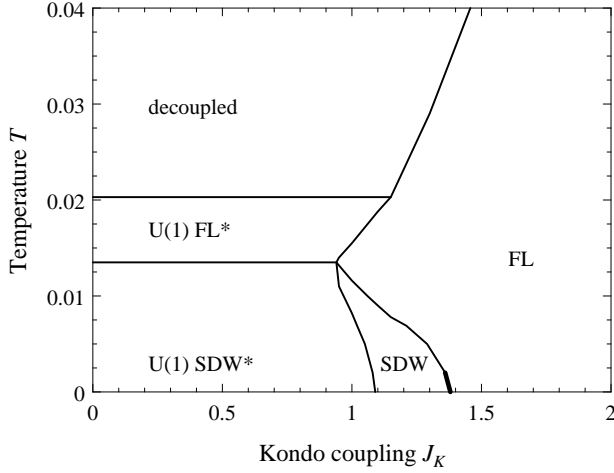


Рис. 5: Магнитная фазовая диаграмма в приближении среднего поля из работы [110]; decoupled — фаза, в которой s - и f -электроны не связаны, $J_K = -2I$, величины по осям в единицах интеграла переноса

[117]. Роль фрустраций в физике кондовских решеток ранее обсуждалась в работах [118, 119].

В работе [110] был предложен новый тип ферми-жидкостного состояния FL^* . В нем локализованные моменты не принимают участие в формировании поверхности Ферми, но адиабатически связаны со спиновой жидкостью, описываемой калибровочной теорией и обладающей соответствующими экзотическими возбуждениями в фазе деконфайнмента. В пространственных размерностях $d \geq 2$ стабильна спиновая жидкость типа Z_2 , однако более интересна спиновая жидкость $U(1)$, существующая при $d \geq 3$. В этой фазе коэффициент электронной теплоемкости C/T расходится логарифмически. На фоне такого состояния возникает металлическое магнитное состояние SDW^* , которое может характеризоваться малым моментом. При этом магнитная неустойчивость развивается как волна спиновой плотности для спинонной поверхности Ферми. С увеличением константы связи происходит переход в обычную (но тяжелую) ферми-жидкость FL (фазовая диаграмма показана на рис. 5).

В [110] было искусственно введено поле, стабилизирующее ненасыщенное состояние с малым моментом. В работе [114] за счет некоторой модификации модели и физической картины такого введения удалось избежать и было получено состояние, в котором эффект Кондо сосуществует с антиферромагнетизмом, хотя и при нереалистически большом параметре $s - f$ обмена.

Перейдем теперь к математическому формализму. В основном состоянии аномальных f -систем кондовскую компенсацию (образование синглета) следует рассматривать в нулевом приближении. Для описания основного состояния кондо-решетки в режиме сильной связи было разработано специальное приближение среднего поля, в рамках которого Коулмен и Андрей [120] рассмотрели формирование состояния спиновой жидкости в двумерной ситуации. Затем это приближение было применено к случаю ферро- и антиферромагнитного упорядочения [121, 86, 122, 110]. Оно использует псевдофермионное представление для операторов локализованных спинов

$S = 1/2$:

$$\mathbf{S}_i = \frac{1}{2} \sum_{\sigma\sigma'} f_{i\sigma}^\dagger \boldsymbol{\sigma}_{\sigma\sigma'} f_{i\sigma'} \quad (30)$$

с вспомогательным условием

$$f_{i\uparrow}^\dagger f_{i\uparrow} + f_{i\downarrow}^\dagger f_{i\downarrow} = 1. \quad (31)$$

Ранее близкая идея о введении псевдофермионов была предложена в работе [123]. Варианты, связанные с использованием вспомогательных бозонов [124], оказываются существенно менее удачными, поскольку оправданы только в пределе большой кратности вырождения N (при конечных N и особенно при $N = 2$ они дают экспоненту в выражении для температуры Кондо, отличную от однопримесного значения). Аналогичная проблема возникает в методе типа Гутцвиллера [125].

Применяя приближение перевальной точки для интеграла по траекториям, описывающего спин-фермионную взаимодействующую систему [120], можно свести гамильтониан s – f обменного взаимодействия к эффективной гибридизационной модели:

$$-I \sum_{\sigma\sigma'} c_{i\sigma}^\dagger c_{i\sigma'} \left(\boldsymbol{\sigma}_{\sigma\sigma'} \mathbf{S}_i - \frac{1}{2} \delta_{\sigma\sigma'} \right) \rightarrow f_i^\dagger V_i c_i + c_i^\dagger V_i^\dagger f_i - \frac{1}{2I} \text{Sp}(V_i V_i^\dagger), \quad (32)$$

где введены векторные обозначения $f_i^\dagger = (f_{i\uparrow}^\dagger, f_{i\downarrow}^\dagger)$, $c_i^\dagger = (c_{i\uparrow}^\dagger, c_{i\downarrow}^\dagger)$, а V — эффективная матрица гибридизации, определяемая из условия минимума свободной энергии.

Таким образом, f –псевдофермионы в данной ситуации сами становятся коллективизированными. В приближении среднего поля такая картина сталкивается с некоторыми идейными трудностями. В частности, возникает проблема исключения нефизических состояний в гильбертовом пространстве: условие (31) учитывается только в среднем введением химического потенциала псевдофермионов (в рассматриваемом подходе числа псевдофермионов и электронов проводимости сохраняются по отдельности, так что $n_f = 1$). Истинная волновая функция должна получаться из средне-полевой после применения дополнительного проекционного оператора Гутцвиллера, исключающего пустые и дважды занятые f -состояния на узле [120]. Аналогичные проблемы картины спиновой жидкости подробно обсуждаются в книге [126] и обзоре [127], где рассмотрены флуктуационные эффекты, которые приводят к взаимодействию с бозонными калибровочными полями. Следует отметить, что эффект Кондо в s – f обменной модели может приводить к стабилизации экзотических состояний типа спиновой жидкости по сравнению с ситуацией в простой модели Гейзенберга [120].

В ферромагнитном состоянии имеем

$$\begin{aligned} H - \mu \hat{n} &= \sum_{\mathbf{k}\sigma} [(t_{\mathbf{k}} - \mu) c_{\mathbf{k}\sigma}^\dagger c_{\mathbf{k}\sigma} + W_\sigma f_{\mathbf{k}\sigma}^\dagger f_{\mathbf{k}\sigma} \\ &+ V_\sigma (c_{\mathbf{k}\sigma}^\dagger f_{\mathbf{k}\sigma} + f_{\mathbf{k}\sigma}^\dagger c_{\mathbf{k}\sigma})] - \sum_{\sigma} V_\sigma^2 / I \end{aligned} \quad (33)$$

где $J_0 = J(\mathbf{q} = \mathbf{0})$, V_σ — эффективная гибридизация,

$$W_\sigma = W - \sigma J_0 \bar{S},$$

W – положение f -уровня, отсчитываемое от химпотенциала электронов μ ; величина $-W$, которая имеет порядок температуры Кондо T_K , – химпотенциал псевдофермионов.

Соответствующая плотность состояний имеет гибридационный вид и включает острые пики псевдофермионных состояний:

$$N_\sigma(E) = \left(1 + \frac{V_\sigma^2}{(E - W_\sigma)^2}\right) \rho\left(E - \frac{V_\sigma^2}{E - W_\sigma}\right) \quad (34)$$

При этом емкость зоны в два раза больше, чем у затравочной зоны. Кроме того, функция $N(E)$ воспроизводит и даже усиливает особенности затравочной плотности состояний.

Сначала обсудим полуметаллическое ферромагнитное (ПМФ) решение, для которого химический потенциал лежит в энергетической щели для $\sigma = \uparrow$ (рис. 6), так что

$$W_\downarrow > V_\downarrow^2/(D - \mu), \quad -V_\uparrow^2/\mu < W_\uparrow < V_\uparrow^2/(D - \mu), \quad (35)$$

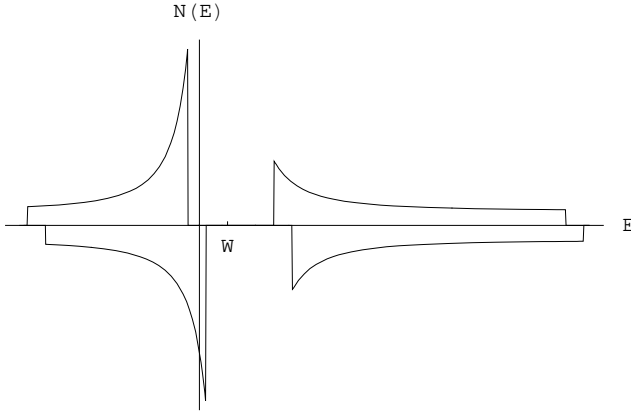


Рис. 6: Парциальные плотности состояний для спина вверх (верхняя половина) и спина вниз (нижняя половина) в случае прямоугольной зоны [122]. Ось ординат проведена через химический потенциал для полуметаллического ферромагнитного состояния. Отметим, что поляризации электронов проводимости и псевдофермионов противоположны

Поскольку емкость гибридационной подзоны равна единице, имеем (n – концентрация электронов проводимости)

$$n_\uparrow^f \simeq 1 - n/2, \quad n_\downarrow^f \simeq n/2, \quad \bar{S} \simeq (1 - n)/2$$

в то время как намагниченность электронов проводимости мала, $n_\uparrow \simeq n_\downarrow \simeq n/2$. В этом состоянии каждый электронов проводимости компенсирует один локализованный спин из-за отрицательного знака $s - f$ обменного параметра I , а магнитное упорядочение обусловлено обменным взаимодействием некомпенсированных моментов. Такая картина напоминает ситуации в узкозонном ферромагнетике в моделях Хаббарда или $s - d$ обмена с сильным внутриатомным взаимодействием (двойной

обмен). В нашем случае, однако, затравочное взаимодействие мало, но эффективное взаимодействие велико в режиме сильной связи.

Для прямоугольной полосы ($\rho(E) = 1/D$, $0 < E < D$) условие существования ПМФ решения имеет вид (W_0 соответствует парамагнитному состоянию)

$$j = J_0/W_0 < \frac{2}{n(1-n)} \quad (36)$$

Таким образом, оно имеется при произвольно малом J_0 , как и в гейзенберговском магнетике. В приближении среднего поля полная энергия магнитного состояния всегда ниже, чем у немагнитного состояния Кондо, и падает с ростом момента:

$$\mathcal{E} - \mathcal{E}_{\text{non-mag}} = -J_0\bar{S}^2 \quad (37)$$

Энергия ферромагнитного состояния Кондо следует также сравнивать с энергией обычного (гейзенберговского) ферромагнитного состояния, в котором эффект Кондо подавлен ($W = 0$, $\bar{S} = 1/2$). Последнее становится энергетически выгодным при достаточно больших значениях

$$j > j_c = 1/(1/4 - \bar{S}^2). \quad (38)$$

В критической точке должен происходить магнитный фазовый переход первого рода. Последнее также подтверждается общим феноменологическим рассмотрением в работе [128].

Отметим, что картина полуметаллического магнетизма тесно связана с гибридным характером спектра, как и в интерметаллических d -системах [129].

Таким образом, ПМФ состояние достаточно устойчиво. В работе [130] оно было переоткрыто в модели Кондо в рамках метода DMFT и названо “spin-selective Kondo insulator”. В работах [131, 132] оно было получено в рамках приближения Хартри-Фока, где наряду с кондовскими аномальными средними учитывались расщепления, описывающие магнитное РККИ-взаимодействие (поляризацию электронов проводимости). Следует отметить, что в последнем подходе кондовское состояние получается только при больших $|I|$ порядка полуширины зоны, так что уже не возникает малого энергетического масштаба T_K . Вероятно, для построения количественной теории нужен учет перенормировки затравочных параметров, как обсуждается в разделе 3.

Теперь обсудим ненасыщенное ферромагнитное решение с намагниченностью $\bar{S} < (1-n)/2$, где $W_\sigma > V_\sigma^2/(D-\mu)$ для обеих σ и уровень Ферми лежит в нижней гибридной подзоне (ниже энергетической щели), как и в немагнитном случае.

Учитывая перенормировки гибридизации в нашей модели, можно получить самогласованное уравнение для намагниченности

$$\frac{J_0\bar{S}}{W} = L(\bar{S}, n), \quad (39)$$

$$L(\bar{S}, n) = \tanh \left(\frac{1}{2\rho_n} \int_{\mu(n+1-2\bar{S})}^{\mu(n+1+2\bar{S})} dE \frac{\rho(E) - \rho}{E - \mu} \right),$$

и выражение для перенормированной температуры Кондо (энергии f -уровня)

$$W = W_0 P(\bar{S}, n), \quad (40)$$

$$P(\bar{S}, n) = \frac{1}{2} \sum_{\sigma} \exp \left(\frac{1}{\rho} \int_{\mu(n+1)}^{\mu(n+1+2\sigma\bar{S})} \frac{\rho(E) - \rho}{E - \mu} dE \right)$$

Эти уравнения можно переписать как

$$j\bar{S} = P(\bar{S}, n)L(\bar{S}, n), \quad j = J_0/W_0. \quad (41)$$

Решения с $\bar{S} \neq 0$ могут существовать, если левая и правая часть (39) порядка единицы, т. е. $J_0 \sim W_0$. Однако реальные условия для этого оказываются достаточно жесткими (ситуация похожа на приближение Хаббард-I, где имеется сильная зависимость критерия магнетизма от затравочной плотности состояний [111]). В частности, уравнение (39) не имеет нетривиальных решений для $\rho(E) = \text{const}$: намагниченность возникает только за счет энергетической зависимости ρ .

Необходимое условие для существования решения с малыми \bar{S} имеет вид

$$k_n = \left. \frac{dL(\bar{S}, n)}{d\bar{S}} \right|_{\bar{S}=0} = \frac{1}{\rho_{n+1}\rho_n} \frac{\rho_{n+1} - \rho_n}{\mu_{n+1} - \mu_n} > 0 \quad (42)$$

где $\rho_n = \rho(\mu_n)$. Таким образом, по сравнению с критерием полуметаллического ферромагнетизма, который определяется глобальным поведением $\rho(E)$, критерий ферромагнетизма с малыми \bar{S} определяется $\rho(E \simeq \mu_{n+1})$ (что соответствует «большой» поверхности Ферми). Ситуация для возникновения решений с малыми \bar{S} более благоприятна при больших n и в присутствии высоких узких пиков $\rho(E)$.

Для простых решеток с симметричной затравочной плотностью состояний ненасыщенное решение может существовать только в области $n < 1/2$ (когда $\rho_{n+1} < \rho_n$). В частности, для полуэллиптической зоны при $J_0 \rightarrow 0$ ферромагнетизм исчезает для $n > 0.5$, а насыщенное ферромагнитное решение возникает для $n < 0.42$ (рис. 7).

Условие для ферромагнетизма с $\bar{S} \rightarrow 0$ имеет вид $k = j$, так что ферромагнитное решение начинается с $j = k$, а с уменьшением j момент растет. Такое необычное поведение связано со своеобразным характером ненасыщенного решения. В этом состоянии имеются две конкурирующие тенденции. Рост обменного расщепления $2J_0\bar{S}$ с j толкает химический потенциал в энергетической щели, но острый псевдофермионный пик не позволяет пересечь себя и остается выше уровня Ферми. Таким образом, \bar{S} должно уменьшаться с ростом j . Отметим, что в случае РККИ обмена (когда $J \sim I^2\rho$, а T_K экспоненциально мала) рост j соответствует уменьшению $|I|$, и поэтому картина не столь парадоксальна, как кажется на первый взгляд.

Как показывают численные расчеты [122], для простой квадратной и кубической решеток ненасыщенное решение существует лишь внутри области существования насыщенного и проигрывает ему по энергии. Для возникновения магнетизма с малым моментом благоприятна ситуация, когда имеется узкий пик плотности состояний на μ_{n+1} или чуть выше, так что упорядочение отодвигает его с уровня Ферми, который оказывается в слабом локальном минимуме для состояний со спином вверх (рис. 8).

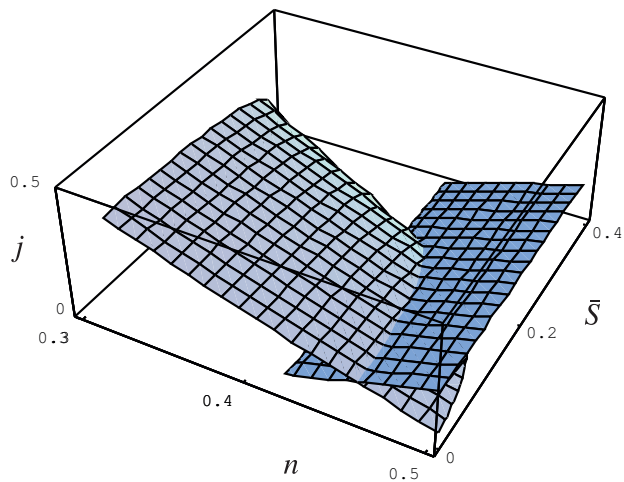


Рис. 7: Диаграмма поверхности существования ненасыщенного ферромагнитного решения для затравочной полуэллиптической зоны согласно (41) (левый лист) [122]. Насыщенное (полуметаллическое) решение существует выше правого листа

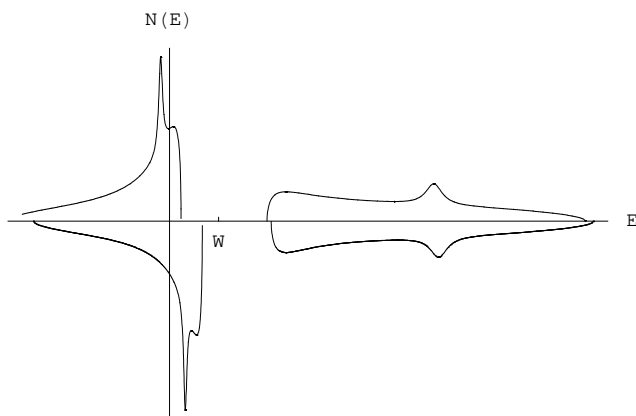


Рис. 8: Парциальные плотности состояний для полуэллиптической зоны с лоренцевским пиком

Область ненасыщенного решения для затравочной плотности состояний с лоренцевским пиком показана на рис. 9. Видно, что магнетизм с малым моментом возникает в довольно широкой области вблизи значений n , где $\mu_{n+1} = E_1$, причем состояние ПМФ в этой области концентраций не существует, по крайней мере, при малых j .

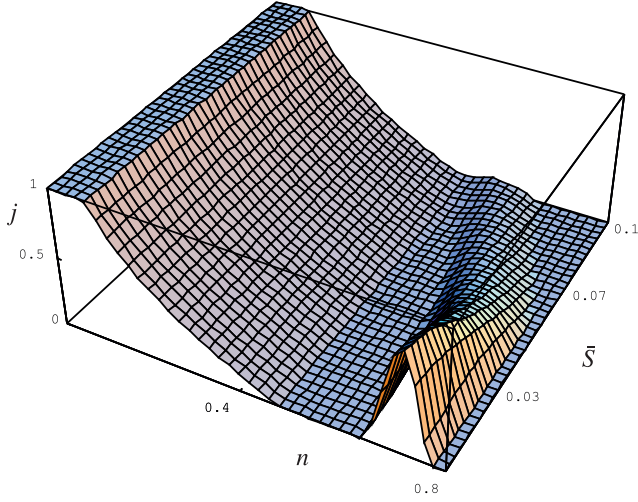


Рис. 9: Диаграмма поверхности существования ненасыщенного ферромагнитного решения для полуэллиптической зоны с лоренцевским пиком ($\rho(E) = \rho_0(E) + h\Gamma/[(E - E_1)^2 + \Gamma^2]$) при $\Gamma = 0.01D$, $E_1 = 0.8D$, $h = 0.01$ [122]

Таким образом, кондовский ферромагнетизм имеет ряд особенностей по сравнению с картиной Стонера для обычных систем коллективизированных электронов. В частности, зависимость критерия ферромагнетизма от затравочной плотности состояний гораздо сложнее. Причина состоит в том, что решающую роль для этого критерия играет зависимость эффективной гибридизации от спина.

Отметим, что рассмотренный подход дает универсальное описание в терминах отношения $j \sim J_0/T_K$ и функций, которые зависят только от затравочной плотности состояний, но не от $s - f$ обменного параметра I .

Гибридизационная форма электронного спектра (наличие пиков плотности состояний) в кондо-решетках подтверждается многочисленными экспериментальными исследованиями: прямыми оптическими данными [133], наблюдением больших электронных масс в измерениях эффекта де Гааза-ван Альфена и т.д. Иногда трудно четко различить режимы промежуточной валентности (ПВ) и Кондо в формировании магнетизма, так как f -состояния в обоих случаях играют важную роль в электронной структуре вблизи уровня Ферми. Наличие реальной гибридизации между s , d - и f -состояниями в ПВ системах может привести к пику в затравочной плотности состояний, который, в свою очередь, будет влиять на псевдофермионный ферромагнетизм. Возможный пример – ферромагнитная система CeRh_3B_2 с малым моментом и высокой температурой Кюри, которая связывалась с сильной $d - f$ гибридизацией. В то же время анализ нейтронных данных для нее не обнаружил намагниченности на узлах родия и бора, так что ферромагнетизм связан с упорядочением локальных моментов церия, а не является коллективизированным магнетизмом в зоне родия, как предполагалось ранее [134].

В случае антиферромагнитного упорядочения электронный спектр искажен как гибридной (кондовской), так и антиферромагнитной щелью. Здесь аналитическое исследование уравнений среднего поля затруднено, и они требуют численного решения. В отличие от ферромагнетика, для антиферромагнетизма с малыми моментами можно пренебречь зависимостью гибридизации от σ , так как поправки вследствие спиновой поляризации имеют структуру $(J_{\mathbf{Q}}\bar{S})^2/(t_{\mathbf{k}+\mathbf{Q}} - t_{\mathbf{k}})$ (\mathbf{Q} – волновой вектор магнитной структуры) и пропорциональны $(J_{\mathbf{Q}}\bar{S})^2/W$. Таким образом, критерий антиферромагнетизма принимает обычную форму:

$$J_{\mathbf{Q}}\chi_{\mathbf{Q}} > 1, \quad (43)$$

где $\chi_{\mathbf{Q}}$ – восприимчивость невзаимодействующих f -псевдофермионов в эффективной гибридной модели. Благодаря гибридным пикам вклад от межзонных переходов оказывается большим: $\chi_{\mathbf{Q}} \sim 1/T_{\mathbf{K}}$. Следовательно, антиферромагнетизм появляется при

$$J_{\mathbf{Q}} > \nu T_{\mathbf{K}}, \quad (44)$$

где постоянная ν порядка единицы определяется зонной структурой. Следует, однако, отметить, что согласно численным результатам для квадратной решетки [131] момент не является малым, а фазовая диаграмма достаточно сложна (рис. 10), причем сосуществование кондовского состояния и антиферромагнетизма имеет место при достаточно больших $|I|$ и J . Для последовательного рассмотрения здесь важен также учет спиральных магнитных состояний [135]. Эти проблемы требуют дальнейшего исследования.

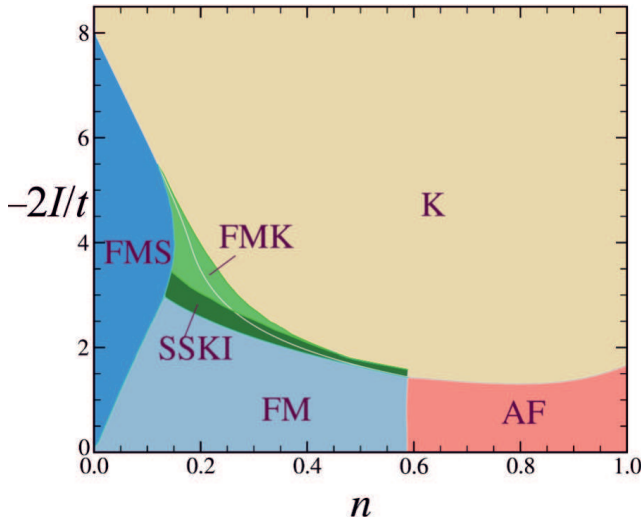


Рис. 10: Магнитная фазовая диаграмма для модели Кондо на квадратной решетке [131]. FMS и FM – насыщенный и ненасыщенный ферромагнетизм без кондовской компенсации, SSKI и FMK – фазы сосуществования эффекта Кондо и насыщенного (полуметаллического) и ненасыщенного ферромагнетизма соответственно

Нетривиальной проблемой является вопрос, как влияют на магнетизм флуктуаций за пределами приближения среднего поля. Простые спин-волновые поправки,

которые обсуждались в работе [86], дают лишь формально небольшие вклады в намагниченность основного состояния порядка $j \ln j$ (которые к тому же отсутствуют в ПМФ состоянии). Более последовательное рассмотрение флуктуаций может быть выполнено с использованием подхода вспомогательных бозонов и $1/N$ -разложения в рамках периодических моделей Андерсона или Коблина-Шриффера [136]. Для картины экзотической ферми-жидкости флуктуации изучались в работе [110] в рамках псевдофермионного представления с одновременным использованием вспомогательного бозона (типа поля Хиггса).

Поведение кондовских магнетиков при конечных температурах обычно трактуется в рамках теории типа Стонера с гибридизационным спектром [131, 132], что по большому счету не оправдано: флуктуационные эффекты должны быть даже важнее, чем в основном состоянии (как и в обычных зонных магнетиках [95]). Они обсуждаются в [110], где показано, что температурный фазовый переход из кондовского состояния в обычную ферми-жидкость на самом деле является плавным (кроссовером).

6 Заключение

Магнетизм решеток Кондо представляет собой сложный феномен: они проявляют черты магнетиков как с коллективизированными электронами, так и с локализованными моментами. При определенных условиях магнитная неустойчивость может иметь место при очень малых (даже по сравнению с T_K) значениях межузельного обмена J , что характерно для гейзенберговских систем. С другой стороны, магнитное упорядочение весьма чувствительно к электронной структуре, как и для коллективизированных систем. Особенно ярко эта двойственность проявляется в подходах, использующих представление псевдофермионов, которые практически становятся реальными и принимают участие в формировании поверхности Ферми.

Описанные механизмы формирования магнитного состояния с подавленным моментом насыщения μ_s значительно отличаются от обычного механизма для зонных ферромагнетиков, которые, как предполагается, в грубом приближении описываются теорией Стонера. Однако, поскольку и энергетический спектр новых фермиевских квазичастиц, и эффективное взаимодействие между ними претерпевают сильные перенормировки, для кондовских ферромагнетиков неприменим критерий Стонера (или, в случае антиферромагнетизма, критерий Оверхаузера для формирования волны спиновой плотности) с затравочными параметрами. Скорее его можно применять к эффективной модели в сильно коррелированном состоянии с «большой» поверхностью Ферми, однако и здесь ситуация оказывается существенно более сложной.

Как мы видели, современная теория описывает магнитные решетки Кондо как сильно коррелированные системы. Так как существует непрерывный переход между кондо-решетками и «стандартными» системами коллективизированных электронов (в частности, обычные паулиевские парамагнетики могут рассматриваться как системы с высоким T_K — порядка энергии Ферми), возникает вопрос относительно роли, которую многоэлектронные эффекты играют в «классических» слабых зонных магнетиках, подобных $ZrZn_2$. Может оказаться, что близость основного состояния

к точке стонеровской неустойчивости, т. е. малость μ_s , в последних системах возникает из-за перенормировок параметра взаимодействия U и химпотенциала, а не из-за случайных затравочных значений $N(E_F)$. Действительно, в такую случайность трудно поверить, поскольку отклонение от граничного условия Стонера $UN(E_F) = 1$ является крайне малым.

Все это дает и новый взгляд на физику обычных слабых коллективизированных магнетиков: их можно рассматривать не с зонной точки зрения, а с точки зрения локальных магнитных моментов, которые почти скомпенсированы. Сейчас уже стало обычным совместно обсуждать решетки Кондо и зонные магнетики [137, 138] и трактовать UPt_3 , $CeSi_x$ и $CeRh_3B_2$ как слабые коллективизированные магнетики (см., напр., [139]). Таким образом, теория кондовских магнетиков приобретает важное значение для общей теории магнетизма.

Автор благодарен М.И. Кацнельсону и В.Н. Никифорову – соавторам работ по физике решеток Кондо – за многочисленные обсуждения. Работа выполнена в рамках государственного задания ФАНО (тема «Квант», No. 01201463332) и частично поддержана грантом УрО РАН 15-8-2-9.

Список литературы

- [1] Н. Б. Брандт, В. В. Мошталков, УФН **149**, 585 (1986)
- [2] J. Kondo, Solid State Physics. Vol. 23. Eds. F. Seitz, D. Turnbull, H. Ehrenreich. N. Y.: Academic Press, 1969, p. 183
- [3] В. Ю. Ирхин, Ю.П. Ирхин. Электронная структура, физические свойства и корреляционные эффекты в d- и f-металлах и их соединениях. Екатеринбург: УрО РАН, 2004.
- [4] В. Ю. Ирхин, М. И. Кацнельсон, ФММ N1, 16 (1991)
- [5] V.Yu. Irkhin and M.I. Katsnelson, Phys.Rev.B**56**, 8109 (1997)
- [6] A. M. Tsvelick, P. B. Wiegmann, Adv. Phys. **32**, 745 (1983)
- [7] G. R. Stewart, Rev. Mod. Phys. **56**, 755 (1984)
- [8] H. v. Lohneysen, A. Rosch, M. Vojta, P. Wolfle, Rev. Mod. Phys. **79**, 1015 (2007)
- [9] P. Coleman, Heavy Fermions: electrons at the edge of magnetism, In: Handbook of Magnetism and Advanced Magnetic Materials. Ed. H. Kronmuller and S. Parkin. Vol 1: Fundamentals and Theory. Wiley, p. 95-148 (2007); arXiv 0612006.
- [10] M. B. Maple et al. J. Low Temp. Phys. **95**, 225 (1994); J. Low Temp. Phys. **99**, 223 (1995)
- [11] Proc. Conf. on Non-Fermi-Liquid Behaviour in Metal (Santa-Barbara, 1995), J. Phys.: Condens. Matter. **8**, 9675-10148 (1996)

- [12] G. R. Stewart, Rev. Mod. Phys. **73**, 797 (2001)
- [13] M. Kasaya et al, J. Magn. Magn. Mater. **76-77**, 347 (1988)
- [14] D.T. Adroja et al, J. Magn. Magn. Mater. **272-276**, 622 (2004)
- [15] M. Kratochvilova et el, J. Cryst. Growth **397**, 47 (2014)
- [16] J. Larrea et al, Phys. Rev. B **72**, 035129 (2005)
- [17] S. Sullow et al, Phys. Rev. Lett. **82**, 2963 (1999)
- [18] V. A. Sidorov et al, Phys. Rev. B **67**, 224419 (2003)
- [19] C. Krellner et al, Phys. Rev. B **76**, 104418 (2007)
- [20] R. E. Baumbach et al, J. Phys.: Condens. Matter **24**, 325601 (2012)
- [21] H. Sakai et al, Phys. Rev. B **86**, 094402 (2012)
- [22] A. Prasad et al, Phys. Rev. B **86**, 014414 (2012)
- [23] B. Chevalier et al, Journal of Alloys and Compounds **383**, 4 (2004)
- [24] R. Viennois et al, Phys. Rev. B **80**, 155109 (2009)
- [25] V. N. Nikiforov et al, Physica B **443**, 80 (2014)
- [26] A. Slebarski et al, Phys. Rev. B **70**, 184429 (2004).
- [27] L. Li et al, Phys. Rev. B **80**, 134429 (2009)
- [28] R. E. Baumbach et al, Phys. Rev. B **85**, 094422 (2012)
- [29] E. Matsuoka et al, J. Phys. Soc. Jpn. **81**, 043704 (2012)
- [30] R. E. Baumbach et al, J. Phys.: Condens. Matter **24**, 325601 (2012)
- [31] A. Bhattacharyya et al, Phys. Rev. B **93**, 060410 (2016)
- [32] D. K. Singh et al, Phys. Rev. B **86**, 060405 (2012)
- [33] J.D. Thompson et al, Physica B 329-333, 446 (2003)
- [34] P. F. S. Rosa et al, Phys. Rev. B **92**, 134421 (2015)
- [35] T. Park et al, Phys. Rev. B **72**, 060410 (2005)
- [36] W.H. Lee et al, Phys.Rev. B **42**, 6542 (1990)
- [37] D.T. Adroja and B.D. Rainford, J. Mugn. Magn. Mater. **119**, 54 (1993)
- [38] V.K. Pecharsky, K.A.Gschneidner Jr., L.L. Miller, Phys. Rev. B**43**, 10906 (1991)

- [39] V.N. Nikiforov et al, Physica B **186-188**, 514 (1993)
- [40] V. N. Duginov et al, Phys.Rev. B **55**, 12343 (1997)
- [41] V. N. Nikiforov, M. Baran, A. Jedrzejczak, V. Yu. Irkhin, European Phys. Journ. B **86**, 238 (2013)
- [42] В.Н. Никифоров, М. Баран, В.Ю. Ирхин, ЖЭТФ, **143**, 929 (2013)
- [43] R. Daou, C. Bergemann and S. R. Julian, Phys. Rev. Lett. **96**, 026401 (2006)
- [44] Y. H. Matsuda et al, Phys. Rev. B **86**, 041109 (2012)
- [45] M. Kasaya et al, J.Phys.Soc.Jpn **60**, 3145 (1991)
- [46] V.N. Nikiforov et al, Phys. Lett. A **378**, 1425 (2014)
- [47] В.Н.Никифоров и др., ФТТ **36**, 471 (1994)
- [48] K. Katoh et al, J. Phys. Soc. Jpn. **78**, 104721 (2009)
- [49] K. Enoki et al, J. Phys. Soc. Jpn 81 (2012) SB056.
- [50] Y. Itoh, H. Kadomatsu, Journal of Alloys and Compounds **280**, 39 (1998)
- [51] J. Sakurai et al, Journal of Magnetism and Magnetic Materials **90–91**, 422 (1990)
- [52] J. Flouquet, In: Progress in Low Temperature Physics, Ed. W.P. Halperin, Elsevier, Amsterdam, 2005
- [53] N Tsujii, H Kitazawa, Solid State Communications, **159**, 65 (2013)
- [54] K.Katoh et al, Journ. Magn. Magn. Mater. **268**, 212 (2004)
- [55] P. Bonville et al, Eur.J.Physics of Condensed Matter **55**, 77 (2006)
- [56] G. M. Schmiedeshoff et al, Phys. Rev. B **83**, 180408(R) (2011)
- [57] S. Lausberg et al, Phys. Rev. Lett. **110**, 256402 (2013)
- [58] F. Kikuchi et al, J. Phys. Soc. Jpn. **78**, 083708 (2009)
- [59] E. Bauer et al, J. Phys.: Condens. Matter **17**, S999 (2005)
- [60] C Krellner et al, New Journal of Physics **13**, 103014 (2011)
- [61] К. Г. Гуртовой, Р. З. Левитин, УФН **153**, 193 (1987)
- [62] J. M. Lawrence et al, J. Phys.: Condens. Matter **23**, 094210 (2011)
- [63] N. B. Perkins et al, Phys. Rev. B **76**, 125101 (2007)
- [64] J. Schoenes, B. Frick and O. Vogt, Phys. Rev. B **30**, 6578 (1984)

- [65] J. Schoenes, R. L. Withers and F. Hulliger, *J. Magn. Magn. Mater.* **310**, 1778 (2007)
- [66] Z. Bukowski et al, *J. Alloys and Compounds* **403**, 65 (2005)
- [67] V. H. Tran et al, *Phys. Rev. B* **71**, 094428 (2005)
- [68] T. Taniguchi et al, *J. Magn. Magn. Mater.* **177-181**, 55 (1998)
- [69] E. Colineau et al, *Journal of Physics: Condensed Matter*, **20**, 075207 (2008)
- [70] V. H. Tran et al, *Phys. Rev. B* **89**, 054424 (2014)
- [71] E. D. Bauer et al, *Phys Rev B* **74**, 155118 (2006)
- [72] C. Tabata et al, *Phys. Rev. B* **94**, 214414 (2016)
- [73] M. Lenkewitz et al, *Phys. Rev. B* **55**, 6409 (1997).
- [74] N. T. Huy et al, *Phys. Rev. B* **75**, 212405 (2007)
- [75] E Colineau¹ et al, *J. Phys.: Condens. Matter* **20**, 255234 (2008)
- [76] M. Valiska et al, *Phys. Rev. B* **92**, 045114 (2015)
- [77] E. D. Bauer et al, *Phys.Rev.Lett.* **94**, 046401 (2005)
- [78] B. П. Мишеев, *УФН*, **187**, 129 (2017)
- [79] S. Doniach, *Physica B***91**, 231 (1977)
- [80] D.L. Cox and A. Zawadowski, *Adv. Phys.* **47**, 599 (1998)
- [81] K. G. Wilson, *Rev. Mod. Phys.* **47**, 773 (1975)
- [82] P. Nozieres, A. Blandin, *J. de Phys.* **41**, 193 (1980)
- [83] D. Bensimon, A. Jerez, and M. Lavagna, *Phys. Rev. B* **73**, 224445 (2006)
- [84] V. Yu. Irkhin, M. I. Katsnelson. *Z. Phys. B* **75**, 67 (1989)
- [85] V.Yu. Irkhin, *Eur.Phys. J. B.* **89**, 117 (2016)
- [86] V. Yu. Irkhin, M. I. Katsnelson, *Z. Phys. B* **82**, 77 (1991)
- [87] P. W. Anderson, *J. Phys. C: Solid State Phys.* **3**, 2436 (1970)
- [88] V. Yu. Irkhin, M. I. Katsnelson, *J. Phys.: Condens. Matter.* **4**, 9661 (1992)
- [89] V.Yu. Irkhin and M.I. Katsnelson, *Phys.Rev. B***59**, 9348 (1999)
- [90] M. Matsumoto et al, *Phys. Rev. Lett.* **103**, 096403 (2009)
- [91] T. T. Ong, B. A. Jones. *Phys. Rev.Lett.* **103**, 066405 (2009)

- [92] Q. Si and F. Steglich, *Science* **329**, 1161 (2010)
- [93] E. Miranda, V. Dobrosavljevic, and G. Kotliar, *J. Phys. Condens. Matter* **8**, 9871 (1996)
- [94] A. H. Castro Neto and B. A. Jones, *Phys. Rev. B* **62**, 14 975 (2000)
- [95] Т. Мория, Спиновые флуктуации в магнетиках с коллективизированными электронами: М.: Мир, 1988.
- [96] A. J. Millis, *Phys. Rev. B* **48**, 7183 (1993)
- [97] D. Belitz et al., *Phys. Rev. B* **63**, 174427 (2001)
- [98] V. Yu. Irkhin, M. I. Katsnelson, *Phys.Rev. B* **62**, 5647 (2000)
- [99] A. Kampf and J.R.Schrieffer, *Phys.Rev.B* **41**, 6399 (1990)
- [100] T.Moriya, Y.Takahashi, and K.Ueda, *J.Phys.Soc.Jpn* **59**, 2905 (1990)
- [101] B. Andraka and A. M. Tsvelik, *Phys.Rev.Lett.***67**, 2886 (1991)
- [102] P.Coleman, L.B. Ioffe, and A. M. Tsvelik, *Phys.Rev.B***52**, 6611 (1995)
- [103] J. Gan, *J. Phys.: Condens. Matter* **6**, 4547 (1994)
- [104] V.Yu. Irkhin and M.I. Katsnelson, *Phys. Rev. B* **61**, 14640 (2000)
- [105] V.Yu. Irkhin, *J. Phys.: Condens. Matter* **23**, 065602 (2011)
- [106] V.Yu.Irkhin, A.A.Katanin, M.I.Katsnelson, *Phys. Rev. Lett.* **89**, 076401 (2002)
- [107] V.Yu. Irkhin, *ЖЭТФ* **152**, 189 (2017); arXiv:1611.04391
- [108] С. В. Вонсовский, М. И. Кацнельсон, А. В. Трефилов, *ФММ* **76**, N3, 3 (1993)
- [109] S. E. Barnes. *Phys. Rev. B* **33**, 3209 (1986)
- [110] T. Senthil, M. Vojta, S. Sachdev, *Phys. Rev. B* **69**, 035111 (2004)
- [111] J. Hubbard, *Roy. Soc. A* **276**, 238 (1963)
- [112] Sh. Hoshino and Y. Kuramoto, *Phys. Rev. Lett.* **111**, 026401 (2013)
- [113] Coleman P., Nevidomskyy A.H. *J Low Temp Phys* **161**, 182 (2010)
- [114] L. Isaev, I. Vekhter, *Phys. Rev. Lett.* **110**, 026403 (2013)
- [115] S. Friedemann et al, *Nature Physics* **5**, 465 (2009)
- [116] O. Stockert et al, *Physica B* **403**, 973 (2008)
- [117] V. Fritsch et al, *J. Phys.: Conf. Series* **807**, 032003 (2017)

- [118] V. Yu. Irkhin, M. I. Katsnelson, Phys.Lett. A **150**, 47 (1990)
- [119] S. V. Vonsovsky, V. Yu. Irkhin, M. I. Katsnelson. Physica B **171**, 135 (1991)
- [120] P. Coleman, N. Andrei, J. Phys.: Condens. Matter. **1**, 4057 (1989)
- [121] V. Yu. Irkhin, M. I. Katsnelson, J. Phys.: Cond. Mat.**2**, 8715 (1990)
- [122] V.Yu. Irkhin, Eur.Phys. J. B **87**, 103 (2014)
- [123] C. Lacroix and M. Cyrot, Phys. Rev. B **20**, 1969 (1979)
- [124] B. Moller and P. Wolfle Phys. Rev. B **48**, 10320 (1993)
- [125] P. Fazekas and E. Mueller-Hartmann, Z.Phys. B **85**, 285 (1991)
- [126] X.-G. Wen, Quantum Field Theory of Many-Body Systems—From the Origin of Sound to an Origin of Light and Electrons, Oxford University Press, Oxford, 2004.
- [127] P.A. Lee, N. Nagaosa, and X.-G. Wen, Rev. Mod. Phys. **78**, 17 (2006)
- [128] T.R. Kirkpatrick, D. Belitz, Fortschr. Phys. **65**, 1600028 (2017)
- [129] M. I. Katsnelson et al, Rev. Mod. Phys. **80**, 315 (2008)
- [130] R. Peters, N. Kawakami, and T. Pruschke, Phys. Rev. Lett. **108**, 086402 (2012)
- [131] B. H. Bernhard and C. Lacroix, Phys. Rev. B **92**, 094401 (2015)
- [132] G. B. Liu, G. M. Zhang, and L. Yu, Phys. Rev. B **81**, 094420 (2010)
- [133] F. Marabelli, P. Wachter, J. Magn. Magn. Mater. **70**, 364 (1987)
- [134] F. Givord et al, J. Phys.: Cond. Mat. **16**, 1211 (2004)
- [135] P.A. Igoshev et al, J. Magn. Magn. Mater. **440**, 66 (2017)
- [136] P. Coleman, Phys. Rev. B**35**, 5072 (1987)
- [137] F. J. Ohkawa, Phys. Rev. B**65**, 174424 (2002)
- [138] M. Vojta, Phys. Rev. B**78**, 125109 (2008)
- [139] S. K. Dhar et al, Phys. Rev. B **36**, 341 (1987)